Unitite





IMPLANTAT

EDUCATION POWERED BY S.I.N.

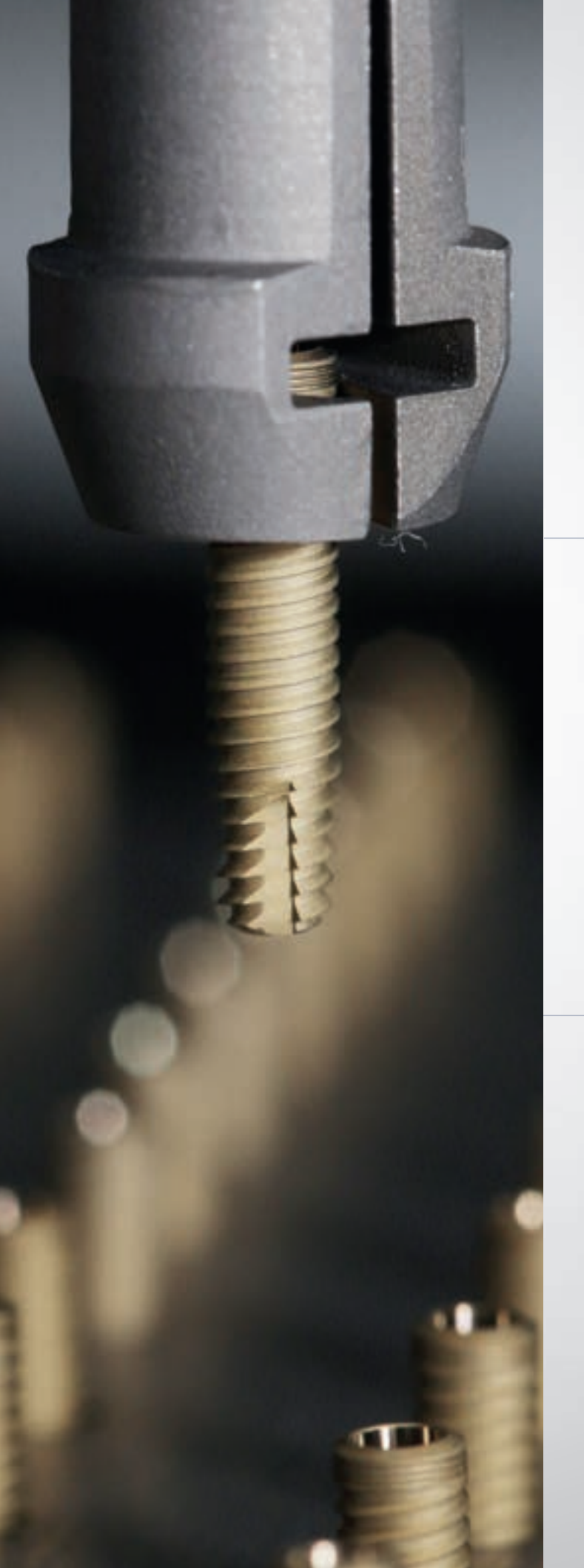
Descubra IMPLANTAT, el habitat educativo de S.I.N. Una plataforma de enseñanza online creada para que más profesionales aceleren su carreray éxito profissional.

> Acceda IMPLANTAT.GLOBAL

o apunte la cámara de su teléfono al QR code y comience ahora su jornada de conocimiento!







Unitite

Evidencias Científicas

Investigación y desarrollo de productos con prestigiosos institutos y universidades como: Universidad de Aarhus - Dinamarca Universidad de Chalmers - Suecia KU Lueven - Bélgica Universidad de Malmö - Suecia UNESP - Brasil USP - Brasil UFU - Brasil

Excelencia en la producción

- ➤ En los últimos tres años se han realizado grandes inversiones en equipos de última generación para la modernización tecnológica de nuestro centro de fabricación.
- Producción anual de más de 5 millones de productos.



Descubre nuestra fábrica de sonrisas. Escanea el código QR con la cámara de tu celular y realiza un recorrido 360º por S.I.N.

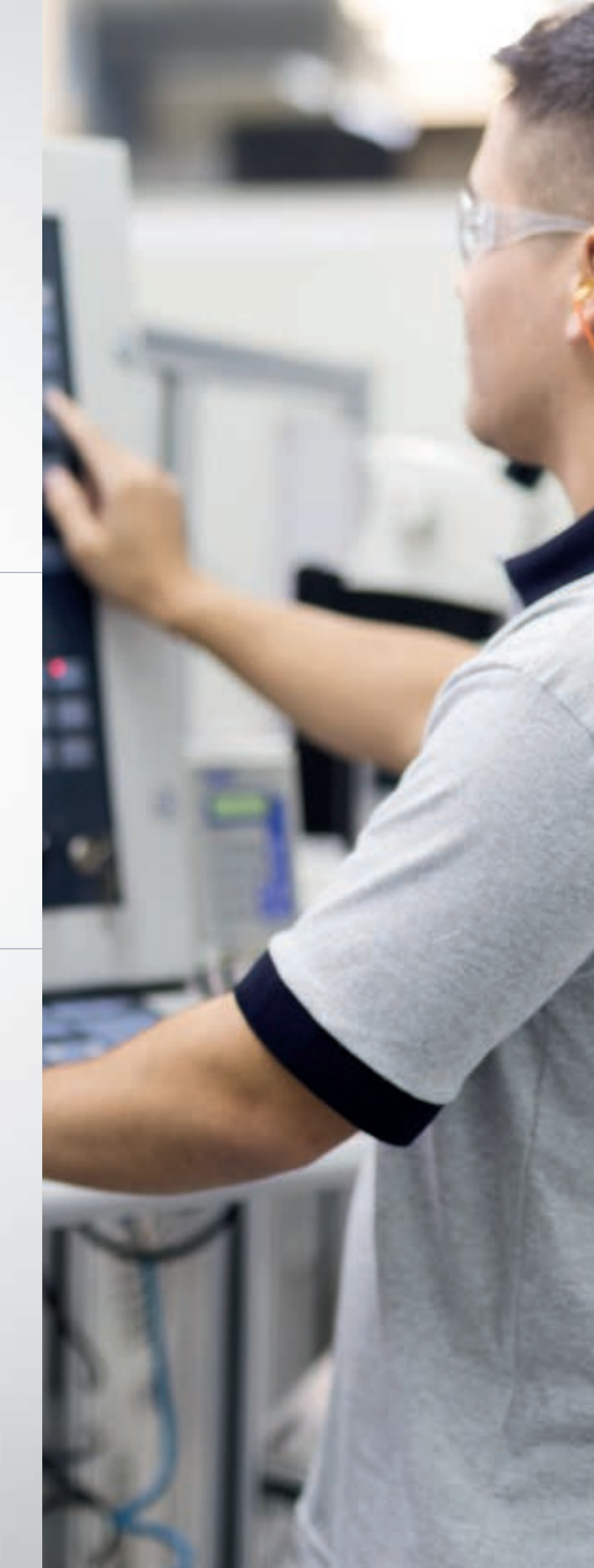


Presencia Mundial

- Una de las mayores empresas de implantes del mercado mundial.
 - Amplia presencia internacional.

Calidad asegurada y certificaciones

➤ Riguroso control de procesos, desde la llegada de la materia prima hasta la entrega del producto final, garantizado mediante certificaciones nacionales e internacionales.



Unitite



DESCARGUE EL APP DE S.I.N.
Y VEA EN REALIDAD AUMENTADA
APUNTE LA CÁMERA DEL CELULAR EN DIRECCIÓN A LA IMAGEN.



UNITITE®

REDEFINIENDO LOS CONCEPTOS DE LA IMPLANTOLOGÍA.

La línea **Unitite®** nació de la combinación entre una macrogeometría exclusiva y una nanoactivación de superficie avanzada, transformándose en una línea de implantes que ha revolucionado el mercado mundial por su originalidad, innovación y altísimo desempeño.

CONOZCA EL MEJOR IMPLANTE DE LA ACTUALIDAD.



UNITITE® SLIM

UNITITE® COMPACT

• Superficie exclusiva de **HAnano**: Desarrollada en las principales universidades de Suecia, esta nanosuperficie acelera notablemente la osteointegración.



 Cámaras de cicatrización: La combinación entre las roscas externas, que tocan el tejido óseo, y las internas, que se mantienen alejadas de él, favorece una cicatrización híbrida de muy alta calidad.



 Aceleración de la cicatrización ósea: La elevada hidrofilia, generada por una capa ultrafina de hidroxiapatita, aumenta la actividad de las proteínas implicadas en el proceso de osteointegración.



 Macrogeometría híbrida diferenciada: La precisión entre el sistema de fresado y el diseño de la rosca externa permiten que haya una gran estabilidad y una compresión mínima del tejido cicatricial óseo periimplantario.





 Respaldo científico: Diez años de investigación y desarrollo con los mejores científicos de las universidades más prestigiosas del mundo.



SOLUCIONES COMPLETAS

Solo la línea Unitite® le da acceso a lo mejor de la implantología actual, permitiéndole excelentes resultados en diversos casos clínicos. Con Unitite® Slim y Unitite® Compact su planificación quirúrgica encuentra de antemano soluciones innovadoras y de alto rendimiento.

Un concepto, múltiples posibilidades.

₩ HA^{nano} Surface

La hidroxiapatita (HA), el principal mineral presente en la estructura ósea humana, cuando se utiliza en la superficie de los implantes de titanio de manera nanoestructurada, forma un revestimiento homogéneo y estable que actúa como un potente catalizador cicatrizal reabsorbible que acelera y mejora las cualidades biológicas del proceso de osteointegración, en comparación con las superficies convencionales.

El nanorecubrimiento HAnano® ha sido desarrollado por investigadores de las principales universidades de Gotemburgo (Suecia) desde 2005. Científicos de diversos países han examinado y aprobado su eficacia, y los resultados se han publicado en decenas de artículos en las principales revistas científicas del mundo.

El HAnano® está formado por nanocristales de hidroxiapatita, cuyo tamaño y forma son similares a los del hueso humano, en un espesor de 20 nanómetros, sintetizados sobre titanio microrrugoso, lo que favorece el cambio de energía de la superficie, aumentando la hidrofilia y proporcionando un

sustrato que estimula una mayor adsorción de proteínas, adhesión, proliferación y diferenciación de los osteoblastos.

La presencia del HAnano®, en la superficie de los implantes de S.I.N., demostró una mejor respuesta de cicatrización en las pruebas moleculares de transducción de señales, en las que las proteínas implicadas en el proceso de cicatrización mostraron un aumento significativo en su concentración, probando el efecto positivo de este recubrimiento en la interacción con las células pre osteoblásticas. Asimismo, se produjo un aumento importante en la concentración de marcadores osteogénicos, como la fosfatasa alcalina y la osteocalcina, una clara indicación de la aceleración del proceso de mineralización.

Entre los aspectos más relevantes y de gran importancia clínica está la calidad mecánica del hueso que se forma alrededor de esta superficie altamente hidrofílica, exclusiva de los implantes de S.I.N., resultado del potencial iónico del recubrimiento HAnano®.

 $La \ siguiente \ imagen \ muestra \ la \ superficie \ del \ implante \ Unitite \ con \ un \ aumento \ de \ 5.000x / 10.000x / 100.000x, respectivamente.$ La superficie moderadamente rugosa de Ti con el PLUS de una nanocapa de hidroxiapatita 5.31K 4.72K 4.13K 3.54K 2 95K 1.77K 1.18K 0.00K 100 2.00 3.00 4 00 6.00 7.00 8.00 9.00 5.00 Weight % Atomic % Net Int. Frror % Ζ Α F Element Kratio 0.0109 1.2237 0.3738 1.0000 СК 17.55 ОК 23.65 45.76 8613 12 54 1.1758 0.0809 1.0000 РΚ 0.62 0.62 0.0049 1.0352 0.7510 1.0095 27.83 21.11 CaK 0.74 0.57 28.30 1.0730

El gráfico y la tabla presentados corresponden a un análisis de EDS en la superficie del implante Unitite, demostrando la pureza y la estabilidad de la superficie del implante.

0.6760

0.9268

1.0034

46.92

2177.66

PUBLICACIONES CIENTÍFICAS

Los efectos positivos y superiores del HAnano® han sido evaluados y comprobados por numerosos estudios científicos en diversas universidades renombradas e instituciones de investigación de todo el mundo. Encuentre algunos de estos estudios a través de los códigos QR.

INFLUENCIA DE LA ESTRUCTURA DE NANO-HIDROXIAPATITA EN LA FORMACIÓN ÓSEA PRECOZ.

Nano hydroxyapatite structures influence early bone formation.

Meirelles L, Arvidsson A, Andersson M, Kjellin P, Albrektsson T, Wennerberg A.

Journal of Biomedical Materials Research Part A Volume 87A, Issue 2,2008, pp. 299-307



EL EFECTO DE LAS MODIFICACIONES QUÍMICAS Y NANOTOPOGRÁFICAS EN LAS PRIMERAS ETAPAS DE LA OSTEOINTEGRACIÓN.

The effect of chemical and nanotopographical modifications on the early stages of osseointegration.

Meirelles L, Currie F, Jacobsson M, Albrektsson T, Wennerberg A.

The International Journal of Oral and Maxillofacial Implants Volume 23, Issue 4, 2008, pp. 641-647



LOS IMPLANTES RECUBIERTOS DE NANO-HIDROXIAPATITA MEJORAN LAS PROPIEDADES NANOMECÁNICAS DE LOS HUESOS.

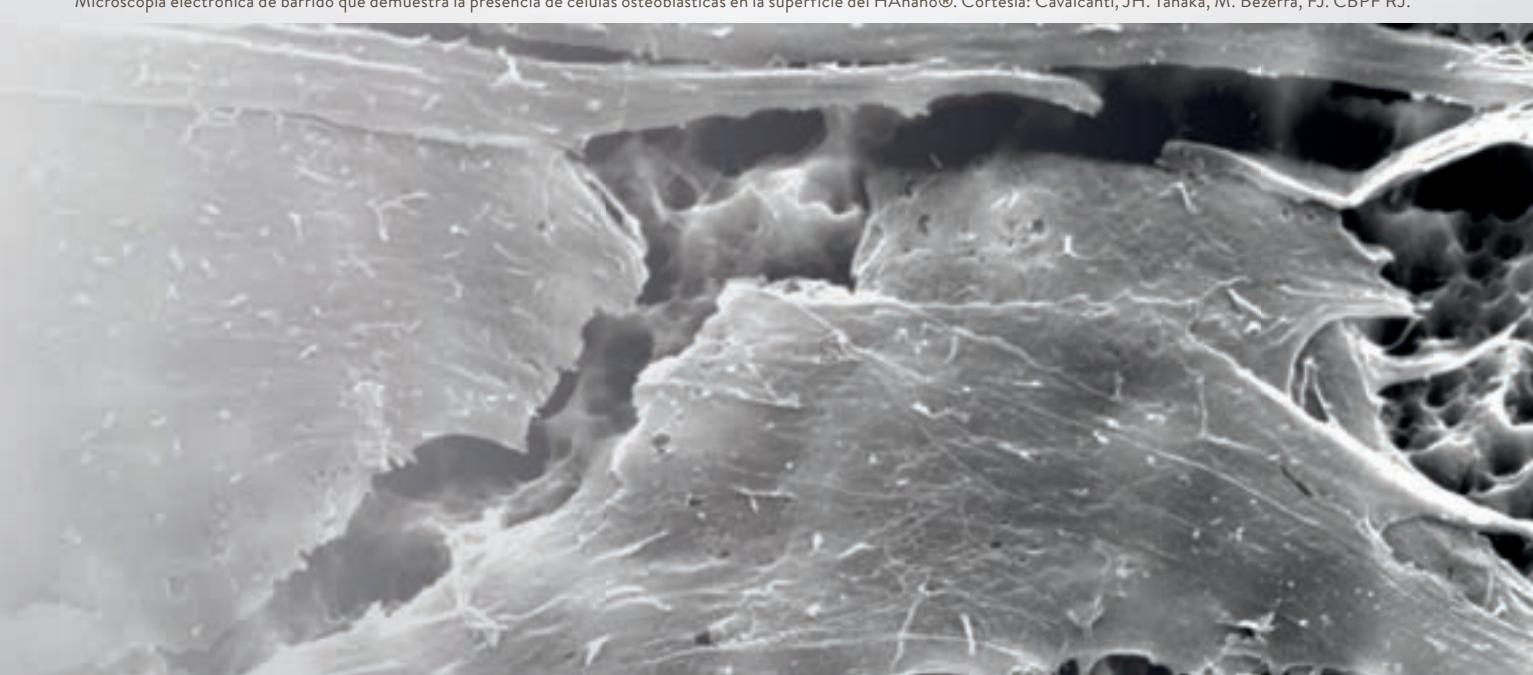
Nano hydroxyapatite-coated implants improve bone nanomechanical properties.

Jimbo R, Coelho PG, Bryington M, Baldassarri M, Tovar N, Currie F, Hayashi M, Janal MN, Andersson M, Ono D, Vandeweghe S, Wennerberg

A.J Dent Res. 2012;91(12):1172-7



Microscopía electrónica de barrido que demuestra la presencia de células osteoblásticas en la superficie del HAnano®. Cortesía: Cavalcanti, JH. Tanaka, M. Bezerra, FJ. CBPF RJ.



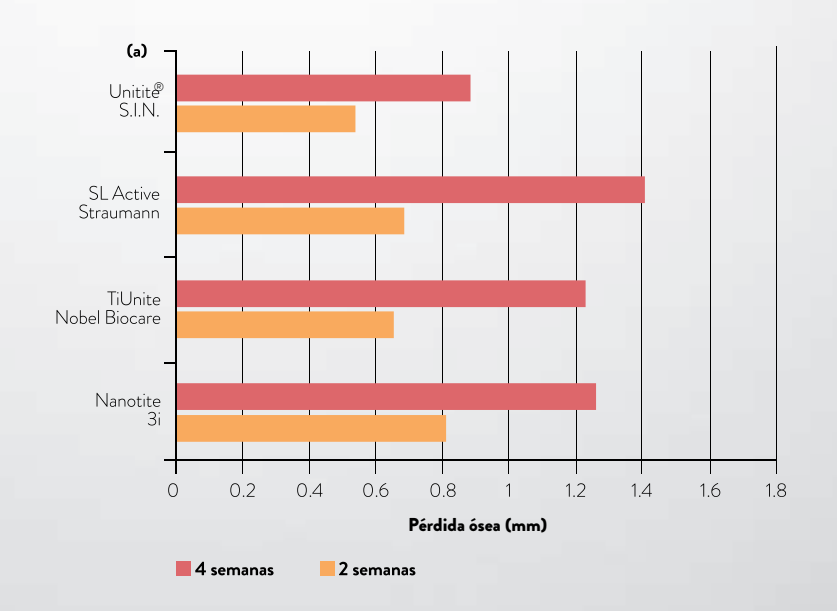
EXCELENCIA DE LA LÍNEA UNITITE®



Unitite® se ha desarrollado basándose en 10 años de estudio en las mejores universidades del mundo, lo que permite demostrar su eficacia a través de resultados clínicos y científicos.

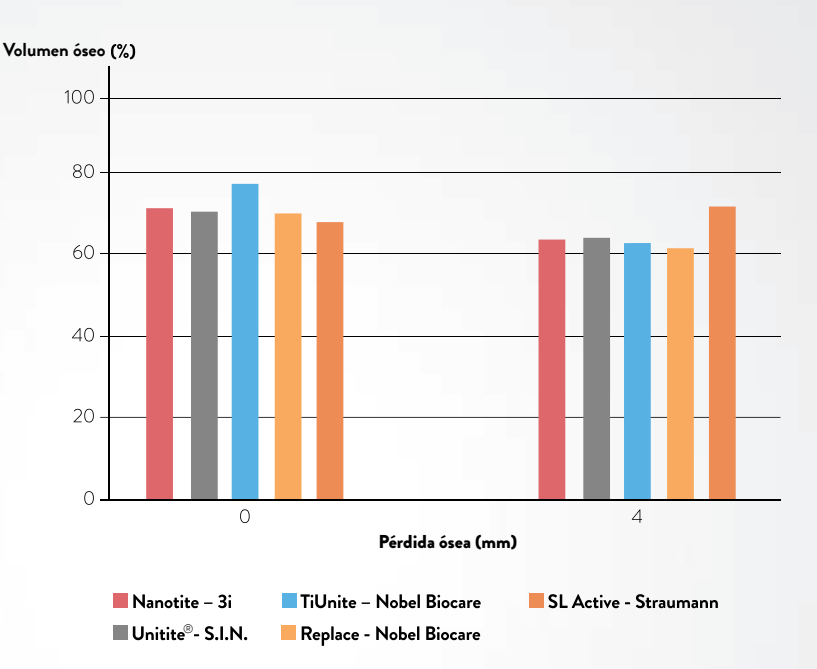
En este gráfico podemos observar los resultados superiores de Unitite®, en relación con la pérdida ósea marginal realizada en un estudio con animales. En este caso, podemos ver que Unitite®, en comparación con los implantes SL Active (Straumann), TiUnite (Nobel Biocare) y Nanotite (Biomet 3i), presenta una menor pérdida ósea a las dos y cuatro semanas de la colocación del implante.

Fuente: modificado de Bonfante y colaboradores.



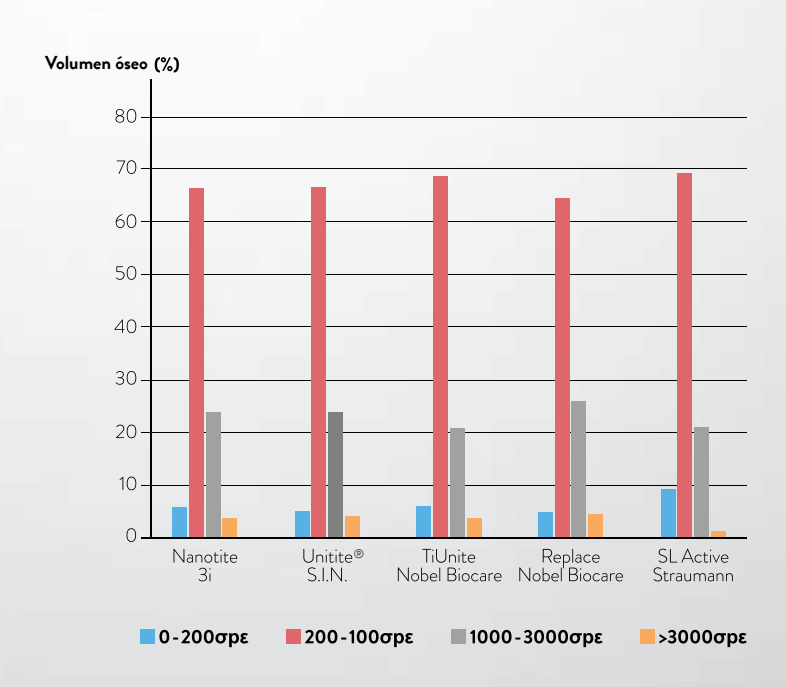
En el análisis de elementos finitos, Unitite® mostró excelentes resultados en el mantenimiento del nivel óseo.

Fuente: modificado de Shunmugasamy y colaboradores.



Al analizar los resultados del gráfico a la derecha, comprobamos que la disipación de fuerzas en el tejido óseo de Unitite® es compatible con las principales marcas de implantes dentales del mercado.

Fuente: modificado de Shunmugasamy y colaboradores.



UNITITE® SLIM



UNITITE® SLIM

INDICACIONES DE USO CLÍNICO:

> 2,9 - Incisivos laterales (superior e inferior) y Centrales inferiores.. Múltiples posibilidades: Con tres tipos de longitudes, Unitite® Slim ofrece más opciones para su planificación quirúrgica.

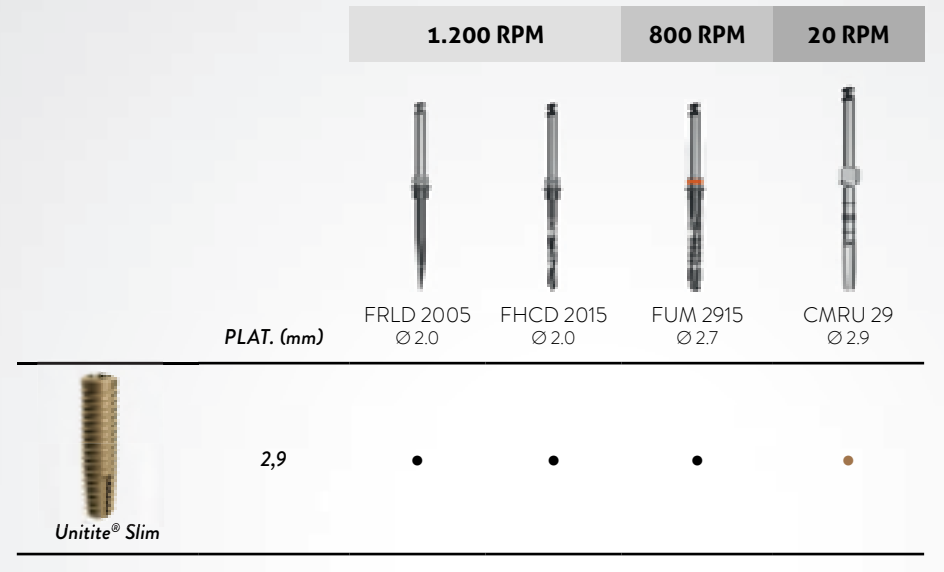
- Solo 2,9 mm de diámetro: Unitite® Slim se ha desarrollado para brindar más comodidad a las rehabilitaciones en zonas estrechas y en espacios interdentales limitados, así como en las regiones de los incisivos laterales superiores e incisivos inferiores.
- Más seguridad: Gracias a sus reducidas dimensiones, Unitite® Slim protege las estructuras bucales vitales y la vascularización.
- Sistema Cono Morse: Superioridad biomecánica de los acoplamientos protésicos a través de un ángulo interno de 3 grados.
- Titanio GRADO 4 Cold Worked: Hecho de material biocompatible, con alta resistencia a la tracción y estabilidad mecánica a largo plazo, en comparación con el titanio de grado 4 convencional.
 - > Indicado para todos los tipos óseos.
 - > Colocación Intraósea de 1,5 mm.
 - > Rotación de las primeras fresas: 1200 rpm.
 - > Rotación de la fresa de 2,7 mm: 800 rpm.
 - > Rotación del macho de rosca de 2,9 mm: 20 rpm*.
 - > Rotación de inserción: 20 a 40 rpm.
 - > Torque máximo: 45 N.cm.
 - > Incluye una tapa de implante de 2,0 mm.
 - > Indicado para carga tardía: A partir de los 60 días.

*En huesos de tipo I y II es necesario utilizar el macho de rosca a fin de garantizar el proceso de cicatrización.

SECUENCIA DE FRESADO

Vea el vídeo con el paso a paso de esta secuencia protésica a través del código QR.



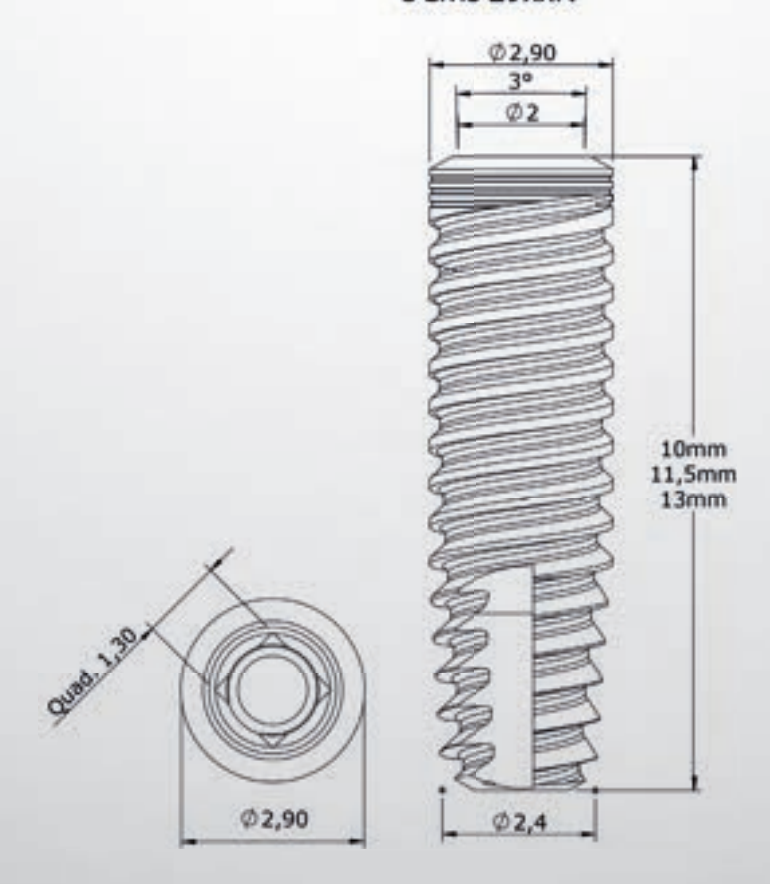


NAMES OF THE OWNER OF THE OWNER, THE OWNER,

• *En huesos de tipo l y ll es necesario utilizar el macho de rosca a fin de garantizar el proceso de cicatrización.

MEDIDAS TÉCNICAS

UCMS 29xxN



SECUENCIA PROTÉSICA UNITITE® SLIM

SECUENCIA PILAR UNIVERSAL (ANALOGICO Y DIGITAL)

Unitaria cementada



IMPLANTE								
CÓD.	DIÁM. (mm)	ALT. (mm)						
UCMS 2910N	2.9	10.0						
UCMS 2911N	2.9	11.5						
UCMS 2913N	2.9	13.0						



CICATRIZADORES DE TITANIO								
CÓD.	DIÁM. (mm)	ALT. (mm)						
CIMUS 3315	3.3	1.5						
CIMUS 3325	3.3	2.5						
CIMUS 3335	3.3	3.5						
CIMUS 3345	3.3	4.5						



CICATRIZADORES DE PEEK							
	DIÁM						
CÓD.	DEL	ALT.					
COD.	PERFIL	(mm)					

	(mm)	
CPUS 0404	4.0	4.0
CDLIS DADS	40	8.0



15 N.cm

	• • •		
CÓD.	DIÁM. (mm)	ALT. DE TRANSMUCOSO (mm)	ALT. DE CEMENTACIÓN (mm)
AISITS 334008	3.3	0.8	4.0
AISITS 334015	3.3	1.5	4.0
AISITS 334025	3.3	2.5	4.0
AISITS 334035	3.3	3.5	4.0
AISITS 334045	3.3	4.5	4.0
AISITS 334055	3.3	5.5	4.0
AISITS 336008	3.3	0.8	6.0
AISITS 336015	3.3	1.5	6.0
AISITS 336025	3.3	2.5	6.0
AISITS 336035	3.3	3.5	6.0
AISITS 336045	3.3	4.5	6.0
AISITS 336055	3.3	5.5	6.0

PILAR UNIVERSAL

Para la instalación y extracción de los cicatrizadores de PEEK compatibles con Unitite® Slim, es necesario comprar las llaves CICS e CRCS por separado. LLAVES

Llave Contra Ángulo
Hex. 1.2mm Corta
(CTH 1220)

Llave Contra Ángulo
Hex. 1.2mm Mediana
(CTH 1224)

Llave Contra Ángulo
Hex. 1.2mm Larga
(CTH 1230)

Llave Contra Ángulo
Hex. 1.2mm Larga
(CDHC 24)

^{*}Verifique la disponibilidad del producto en su país.





THE REPORT OF THE PERSON OF TH

CÓL	



CÓD.	DIÁM. (mm)	ALT. (mm)
TSIT 3340	3.3	4.0
TSIT 3360	3.3	6.0

TRANSFER EN POLIACETAL

- A	NALOGO		
CÓD.	DIÁM. (mm)	ALT. (mm)	
ASIT 3340	3.3	4.0	
ASIT 3360	3.3	6.0	



CILINDRO CALCINABLE EN POLIACETAL

CÓD.	DIÁM. (mm)	ALT. (mm)
CCSIT 3340	3.3	4.0
CCSIT 3360	3.3	6.0





PILAR UNIVERSAL										
	CÓD.		DIÁM. (mm)	ALT. (mm)						
	JBSIT 3340	0	3.3	4.0						
	JBSIT 3360	0	3.3	6.0						
	JBSIT 4540	0	4.5	4.0						
	JBSIT 4560	0	4.5	6.0						

JIG DE ESCANEO

PILAR UNIVERSAL								
CÓD.	DIÁM. (mm)	ALT. (mm)						
ADUA 3340	3.3	4.0						
ADUA 3360	3.3	6.0						
ADUA 4540	4.5	4.0						
ADUA 4560	4.5	6.0						

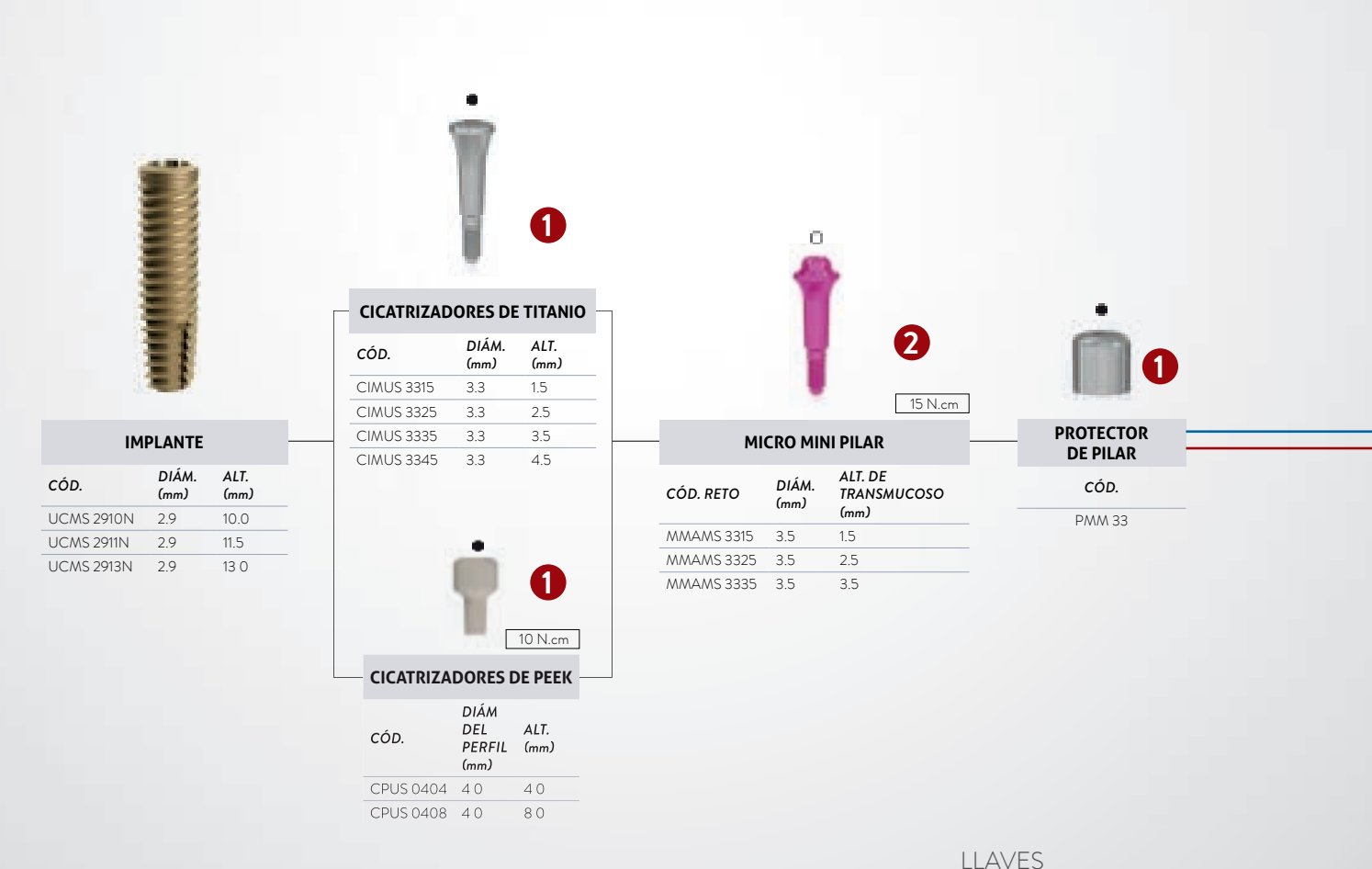
ANÁLOGO DIGITAL

- Secuencia analógica
- Secuencia digital
- Tornillo hexagonal
- Componente antirrotacional
- Tornillo cuadrado
- 🔲 Tornillo de pilar
- Componente rotacional

SECUENCIA PROTÉSICA UNITITE® SLIM

MICRO MINI PILAR - INTERMEDIARIO PROTÉSICO ATORNILLADO (ANALOGICO Y DIGITAL)

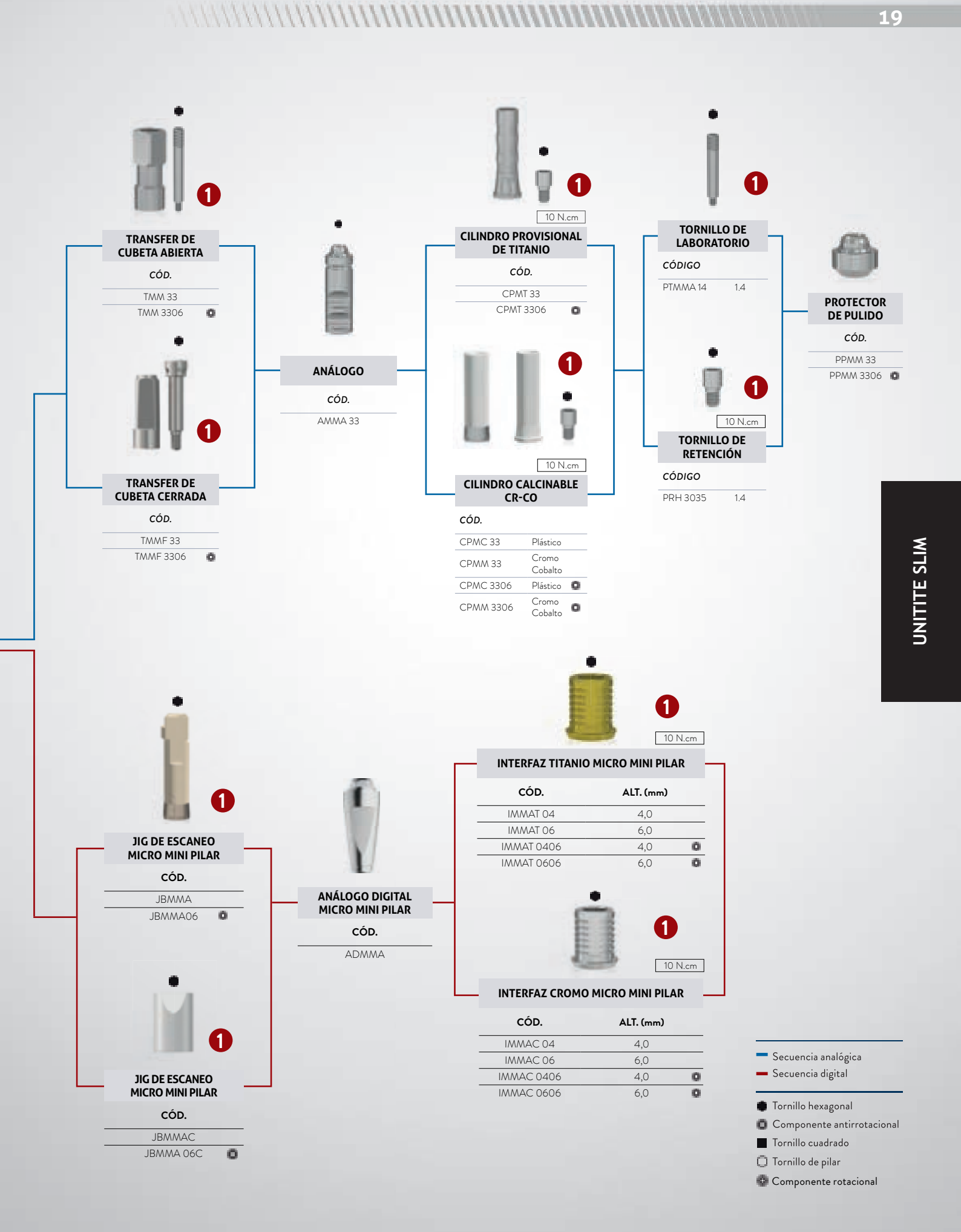
Unitario, múltiple parcial o total atornillado



Para la instalación y extracción de los cicatrizadores de PEEK compatibles con Unitite® Slim, es necesario comprar las llaves CICS e CRCS por separado.

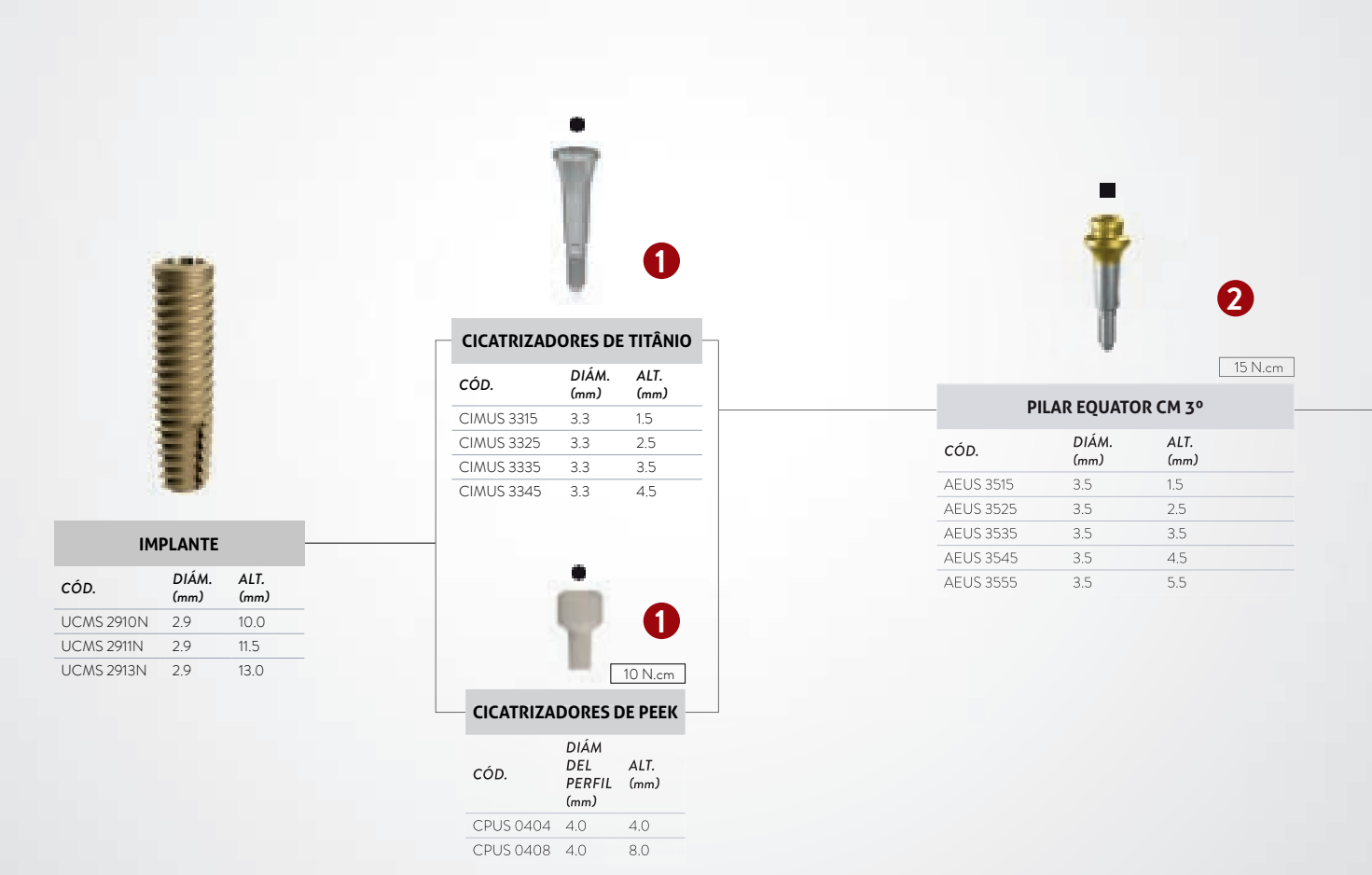
*Verifique la disponibilidad del producto en su país.





SECUENCIA PROTÉSICA UNITITE® SLIM

OVERDENTURE - EQUATOR



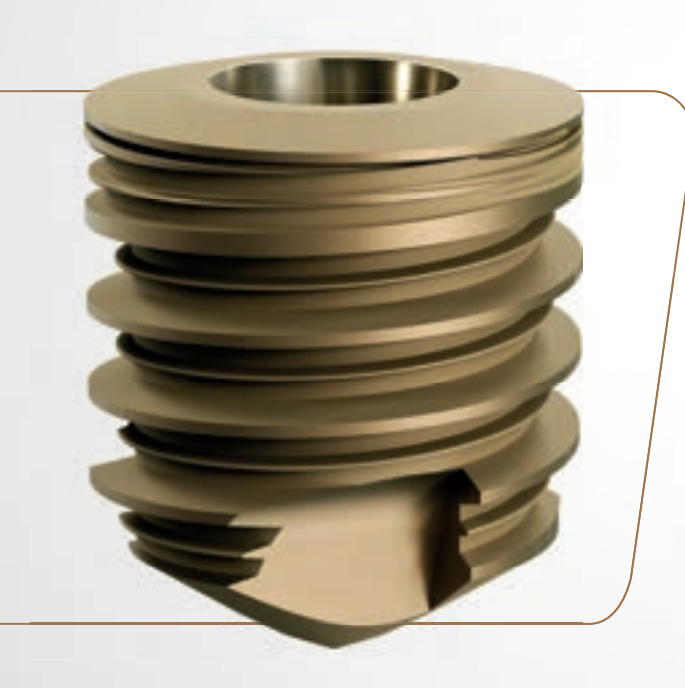


^{*}Verifique la disponibilidad del producto en su país.





UNITITE® COMPACT



UNITITE® COMPACT

INDICACIONES DE USO CLÍNICO:

- 4,0 Caninos, premolares y molares
- 5,0 Molares
- 6.0 Molares

- La línea Unitite® Compact está altamente recomendada para situaciones de disponibilidad ósea vertical reducida en el maxilar y la mandíbula.
- Diversidad de tamaños: La línea Unitite® Compact cuenta con tres longitudes y diámetros diferentes que permiten una mayor versatilidad quirúrgica.
- Minimiza o elimina la necesidad de realizar cirugías complejas para el aumento de hueso.
- Alto rendimiento: Con un conjunto de características exclusivas, la línea Unitite® Compact proporciona una gran estabilidad y previsibilidad de resultados en casos con altura ósea reducida.
- Versatilidad protésica: Permite la realización de prótesis cementadas o atornilladas simples y múltiples.
- Plataforma Cono Morse: Posee un ángulo interno de 4 grados que permite una excelente estabilidad protésica y favorece la longevidad del implante.
 - > Indicado para todos los tipos óseos
 - > Colocación a nivel óseo.

- > Rotación de las primeras fresas: 1200 rpm
- > Rotación de las fresas de 2,7 a 5,8 mm: 800 rpm
- > Rotación de los machos de rosca de 4.0 a 6.0 mm: 20 rpm*
- > Rotación de inserción: 20 a 40 rpm
- > Torque máximo: 60 N.cm.
- > Incluye una tapa de implante.
- > Indicación para la carga tardía: A partir de los 60 días.

^{*} Es necesario utilizar el macho de rosca en huesos de tipo I y II, para garantizar el proceso de cicatrización.

UNITITE COMPACT

SECUENCIA DE FRESADO

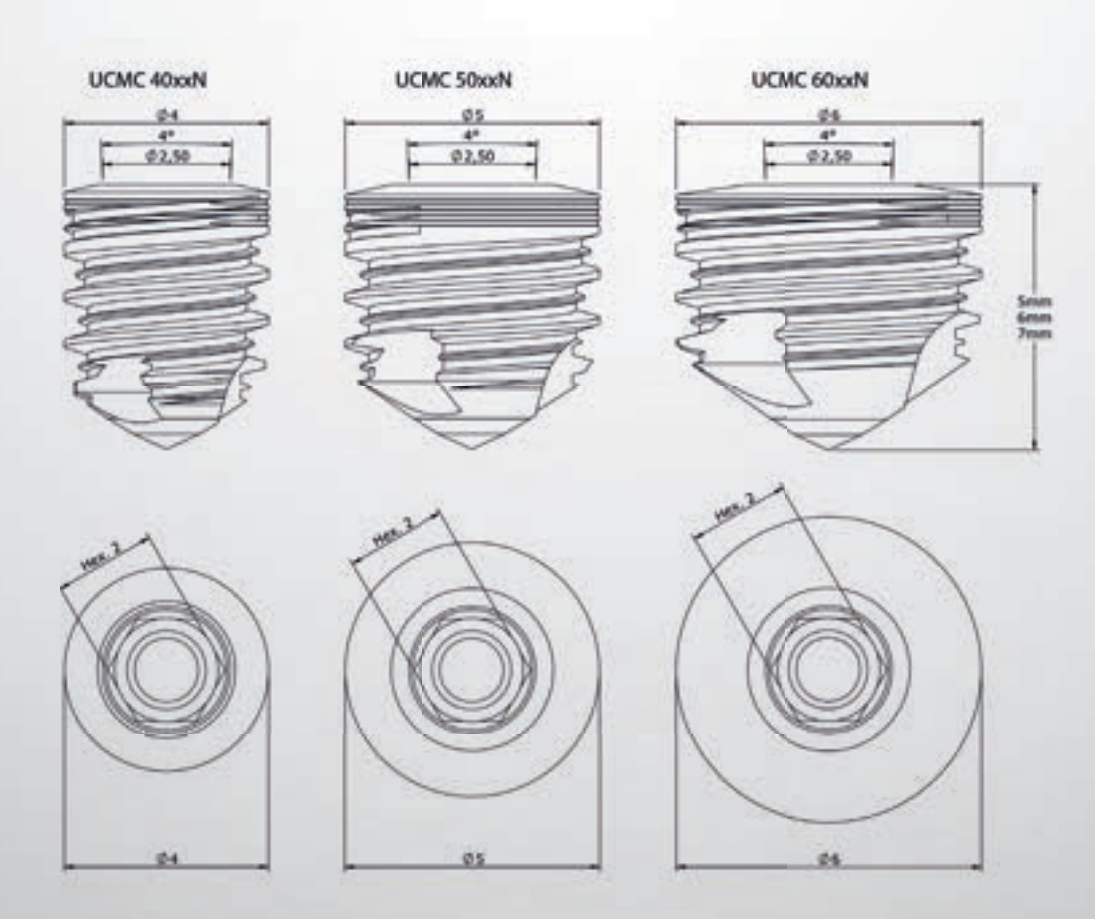
Vea el vídeo con el paso a paso de esta secuencia protésica a través del código QR.



	1.200 RI	РМ		800 RPM							20 RPM			
		Î	No. of Contrasts	-		ė					į			
	PLAT. (mm)	FRLD 2005 Ø 2.0	FHCD 2015 Ø 2.0	FUM 2915 Ø 2.7	FUM 3515 Ø 3.3	FPUC 3338 Ø 3,3/Ø3,8	FHCD 3215 Ø 3.8	FPUC 3848 Ø3,8/Ø4,8	FHCD 4215 Ø 4.8	FPUC 4858 Ø4,8/Ø5.0	FHCD 5215 Ø 5.8	CMRUC 40 Ø4.0	CMRUC 50 Ø 5.0	CMRUC 60 Ø 6.0
	4.0	•	•	•	•	•	•					•		
3	5.0	•	•	•	•	•	•	•	•				•	
Unitite® Compact	6.0	•	•	•	•	•	•	•	•	•	•			•

THE REPORT OF THE PERSON OF TH

MEDIDAS TÉCNICAS



[•] Es necesario utilizar el macho de rosca en huesos de tipo l y ll, para garantizar el proceso de cicatrización.

SECUENCIA PROTÉSICA UNITITE® COMPACT

PILAR UNIVERSAL - SECUENCIA CON INTERMEDIARIO PROTÉSICO (ANALÓGICO Y DIGITAL)
Unitaria cementada

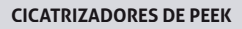


IMPLANTE			
CÓD.	DIÁM. (mm)	ALT. (mm)	
UCMC 4005N	4.0	5.0	
UCMC 4006N	4.0	6.0	
UCMC 4007N	4.0	7.0	
UCMC 5005N	5.0	5.0	
UCMC 5006N	5.0	6.0	
UCMC 5007N	5.0	7.0	
UCMC 6005N	6.0	5.0	
UCMC 6006N	6.0	6.0	
UCMC 6007N	6.0	7.0	



CIC 4002 4.0 2.0
CIC 4004 4.0 4.0
CIC 4006 4.0 6.0

CICATRIZADORES DE TITANIO



10 N.cm

CÓD.	DIÁM DEL PERFIL (mm)	ALT. (mm)
CPUC 0504	5.0	4.0
CPUC 0804	8.0	4.0
CPUC 0508	5.0	8.0
CPUC 0808	8.0	8.0



20 N.cm

	PI	LAR UNIVERSAL	
CÓD. RETO	DIÁM. (mm)	ALT. DE TRANSMUCOSO (mm)	ALT. DE CIMENTACIÓN (mm)
AIMC 45401	4.5	1.0	4.0
AIMC 45402	4.5	2.0	4.0
AIMC 45403	4.5	3.0	4.0
AIMC 45404	4.5	4.0	4.0
AIMC 45405	4.5	5.0	4.0
AIMC 45601	4.5	1.0	6.0
AIMC 45602	4.5	2.0	6.0
AIMC 45603	4.5	3.0	6.0
AIMC 45604	4.5	4.0	6.0
AIMC 45605	4.5	5.0	6.0



^{*}Verifique la disponibilidad del producto en su país.





ALT. (mm)

4.0

6.0

NAMES OF THE PARTY OF THE PARTY

CILINDRO PROVISIONAL

EN ACKILICO			
CÓD.	DIÁM. (mm)	ALT. (mm)	
CPSIT 4540	4.5	4.0	
CPSIT 4560	4.5	6.0	П

TRANSFER EN POLIACETAL			
CÓD.	DIÁM. (mm)	ALT. (mm)	
TSIT 4540	4.5	4.0	

4.5

6.0

TSIT 4560





CILINDRO CALCINABLE EN POLIACETAL

CÓD.	DIÁM. (mm)	ALT. (mm)
CCSIT 4540	4.5	4.0
CCSIT 4560	4.5	6.0





PILAR UNIVERSAL					
	CÓD.		DIÁM. (mm)	ALT. (mm)	
	JBSIT 3340	0	3.3	4.0	
	JBSIT 3360	0	3.3	6.0	
	JBSIT 4540	0	4.5	4.0	
	JBSIT 4560	0	4.5	6.0	

JIG DE ESCANEO



ANÁLOGO DIGITAL

PILAR UNIVERSAL			
CÓD.	DIÁM. (mm)	ALT. (mm)	
ADUA 3340	3.3	4.0	
ADUA 3360	3.3	6.0	
ADUA 4540	4.5	4.0	
ADUA 4560	4.5	6.0	



Tornillo hexagonal

Componente antirrotacional

■ Tornillo cuadrado

🔲 Tornillo de pilar

Componente rotacional

SECUENCIA PROTÉSICA UNITITE® COMPACT

MINI PILAR - SECUENCIA CON INTERMEDIARIO PROTÉSICO (ANALOGICO Y DIGITAL)
Múltiple parcial o total atornillado



*Verifique la disponibilidad del producto en su país.

Llave Catraca

(CDHC 24)

Llave Catraca P/ Abutment Corto (CDAC 20)

Llave Catraca P/ Abutment Medio (CDAC 24)

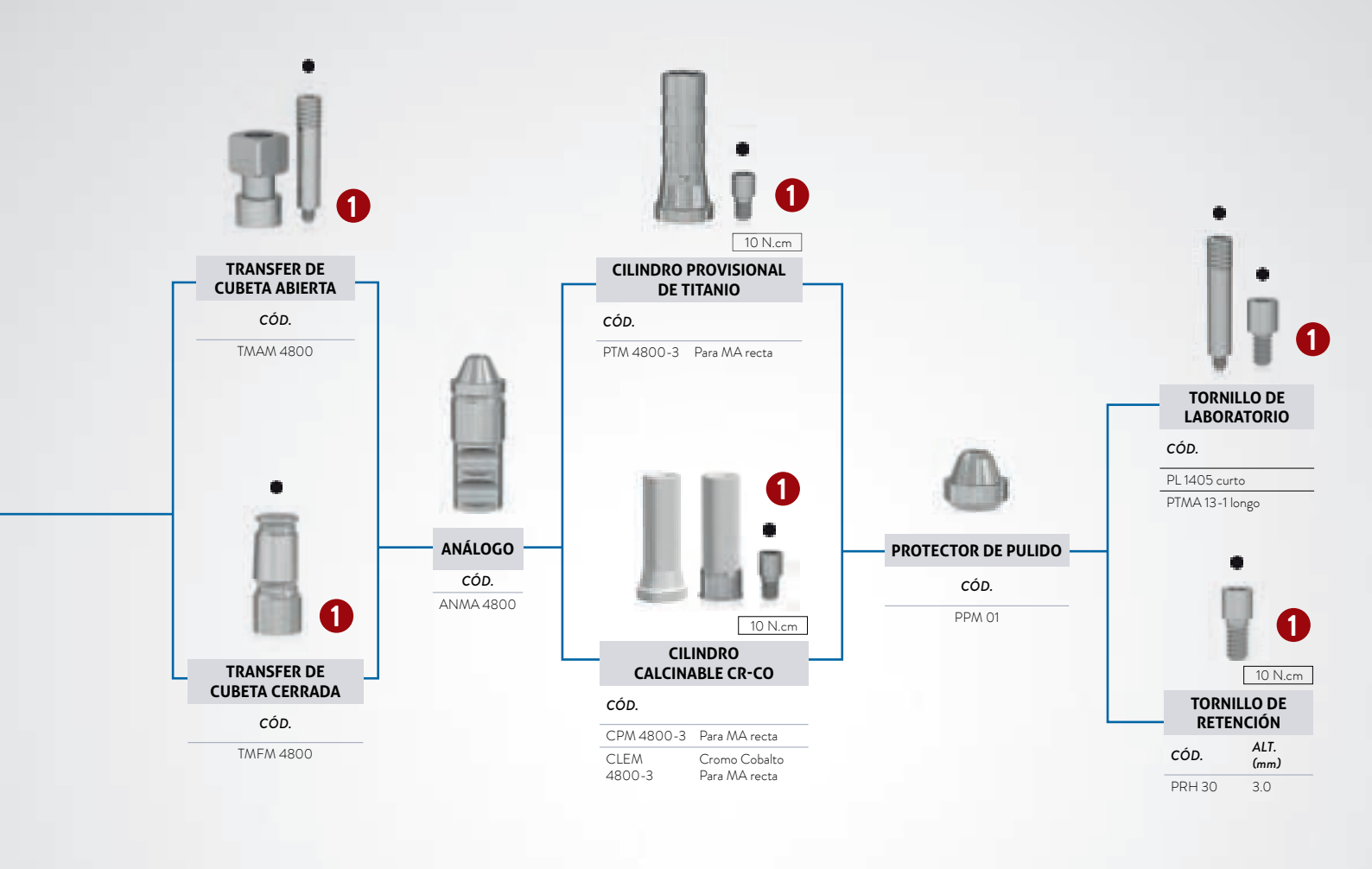
Hex. 1.2mm Media

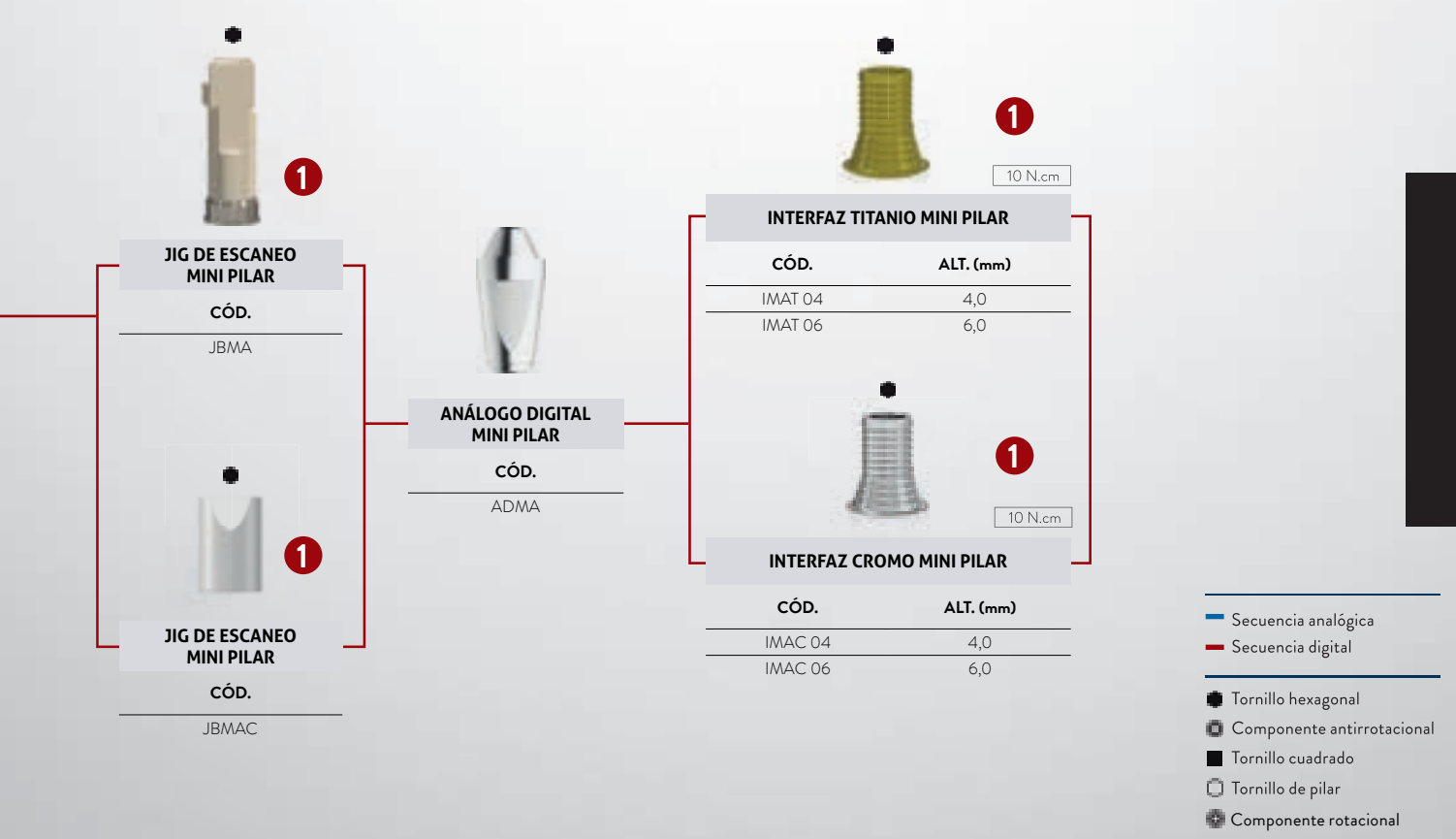
Llave Contra Ángulo

Llave Contra Ángulo P/ Abutment Media (CTA

1224)

Hex. 1.2mm Larga (CTH 1230)



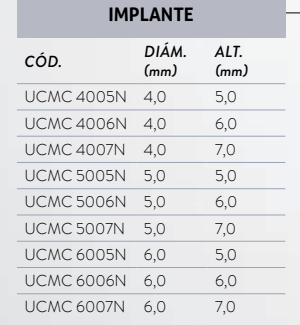


SECUENCIA PROTÉSICA UNITITE® COMPACT

ABUTMENT MULTIFUNCIONAL - SECUENCIA CON INTERMEDIARIO PROTÉSICO (ANALOGICO Y DIGITAL)

Unitaria, Múltiple Parcial o Total Atornillada







ABUTMENT MULTIFUNCIONAL



32 N.cm

cm

		-

PAM 48

Hex. 1.6mm Mediana (CCH 1624)

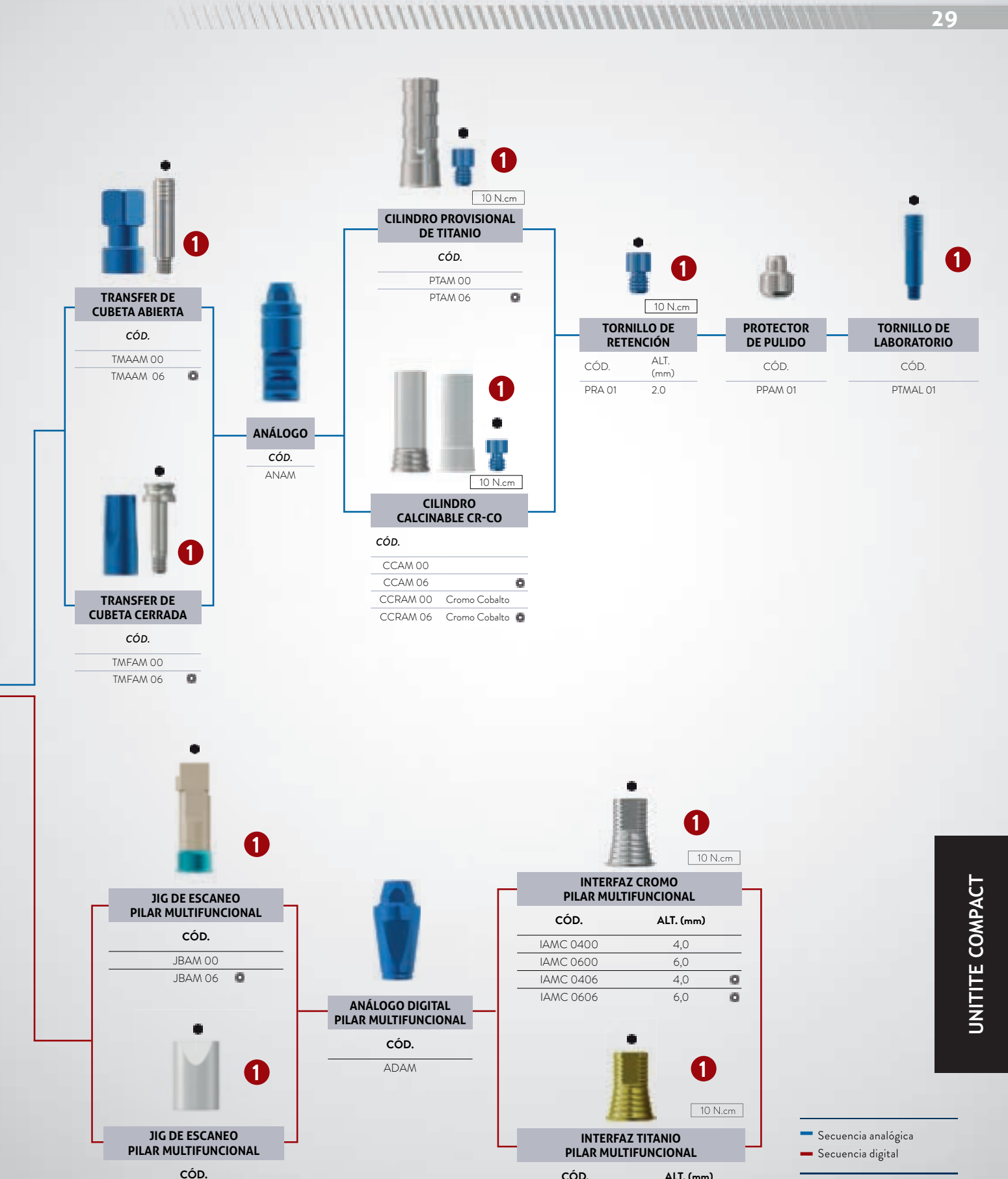
CÓD.	DIÁM. (mm)	TRANSMUCOSO
AMCMC 4801	4,8	1.0
AMCMC 4802	4,8	2.0
AMCMC 4803	4,8	3.0
AMCMC 4804	4,8	4.0
AMCMC 4805	4,8	5.0

Utilizar llave hexagonal del kit protésico de 1,6 mm

LLAVES



Llave de Contra-ángulo Hex. 1.6mm Mediana (CTH 1624)



CÓD.

IAMT 0400

IAMT 0600

IAMT 0406

IAMT 0606

JBAM 00C

JBAM 06C

ALT. (mm)

4,0

6,0

4,0

6,0

0

o

Tornillo de pilar Componente rotacional

Componente antirrotacional

Tornillo hexagonal

■ Tornillo cuadrado

SECUENCIA PROTÉSICA UNITITE® COMPACT

OVERDENTURE - EQUATOR



IMPLANTE				
CÓD.	DIÁM. (mm)	ALT. (mm)		
UCMC 4005N	4,0	5,0		
UCMC 4006N	4,0	6,0		
UCMC 4007N	4,0	7,0		
UCMC 5005N	5,0	5,0		
UCMC 5006N	5,0	6,0		
UCMC 5007N	5,0	7,0		
UCMC 6005N	6,0	5,0		
UCMC 6006N	6,0	6,0		
UCMC 6007N	6,0	7,0		







CÓD.	DIÁM DEL PERFIL (mm)	ALT. (mm)	
CPUC 0504	5.0	4.0	
CPUC 0804	8.0	4.0	
CPUC 0508	5.0	8.0	
CPUC 0808	8.0	8.0	



2)

15 N.cm

PILAR	EQUATOR	CM 4°

CÓD.	DIÁM. (mm)	ALT. (mm)
AEUC 4001	4.0	1.0
AEUC 4002	4.0	2.0
AEUC 4003	4.0	3.0
AEUC 4004	4.0	4.0
AEUC 4005	4.0	5.0
AEUC 4006	4.0	6.0

LLAVES





^{*}Verifique la disponibilidad del producto en su país.

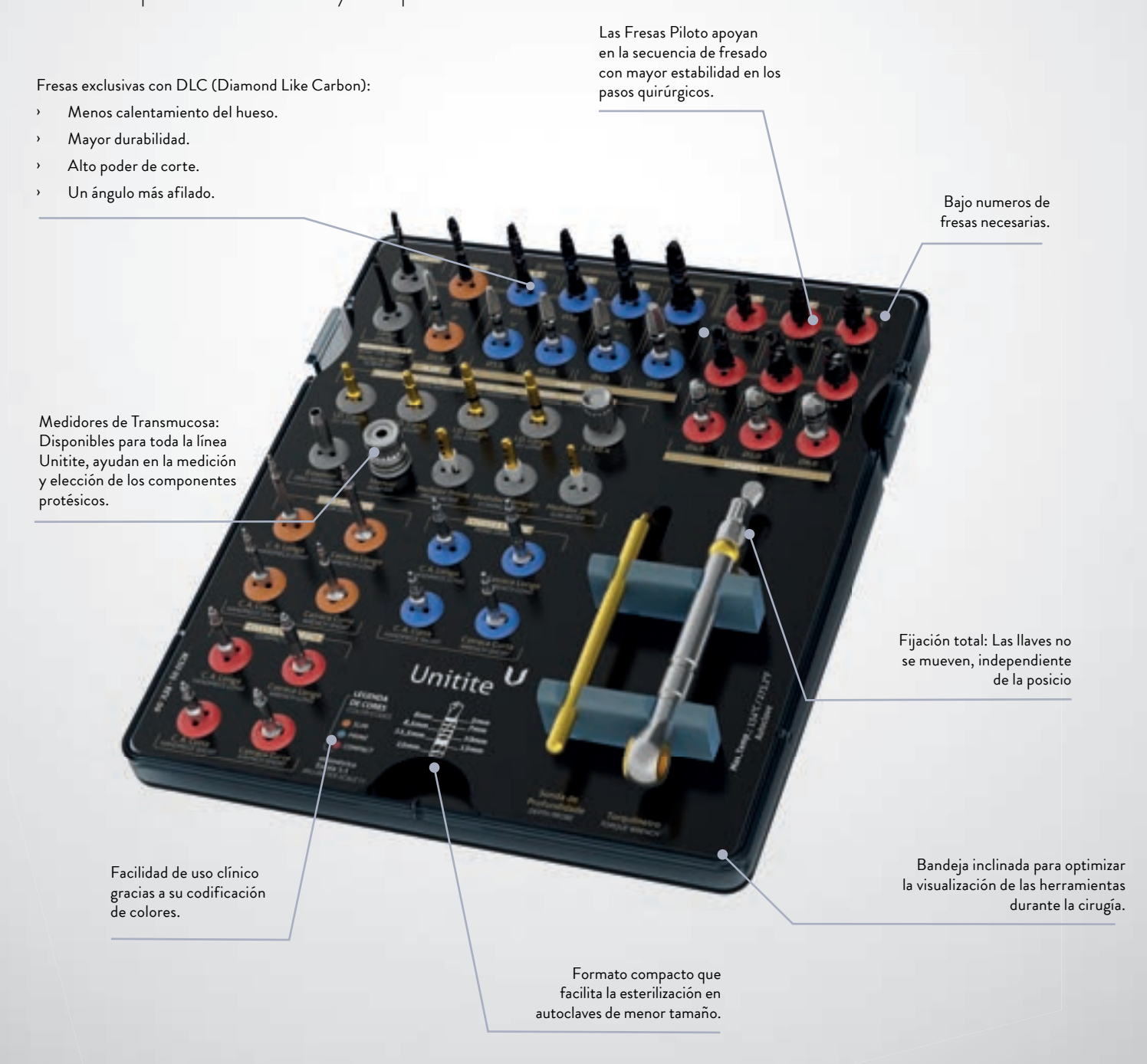




KIT QUIRÚRGICO UNITITE®

UN SOLO KIT PARA TODA LA LÍNEA UNITITE®

Para que su rutina diaria sea aún más práctica y eficiente, hemos desarrollado un único kit quirúrgico Unitite® para la colocación de la línea completa: Unitite® Slim y Compact.



*Verifique la disponibilidad del producto en su país. LA COLOCACIÓN DE LOS IMPLANTES DE LA LÍNEA UNITITE® DEBE REALIZARSE **EXCLUSIVAMENTE CON EL KIT QUIRÚRGICO UNITITE**®. EVITE EL SUBFRESADO.





- TWIST DRILL Ø2,0X15MM
- O2 DRILL UNITITE Ø2,6X15MM
- O3 PRILL UNITITE Ø3,0X15MM
- DRILL MORSE UNITITE Ø3,8X15MM
- OS DRILL MORSE UNITITE Ø3,8X15MM
- Of (FUM 5015)
- 07 PILOT DRILL Ø3,3/Ø3,8MM
- PILOT DRILL Ø3,8/Ø4,8MM
- PILOT DRILL Ø4,8/Ø5,8MM
- O9 (FPUC 4858)

 DRILL SPADE Ø2,0MM
- (FRLD 2005)

 SCREW TAP Ø2,9MM

11

- SCREW TAP Ø3,5MM (CMRU 35)
- SCREW TAP Ø5,0MM
- 14 SCREW TAP Ø4,3MM
- SCREW TAP Ø5,0MM
- 16 (FHCD 32/15)

TWIST DRILL Ø4,25X15MM (FHCD 4215)

- 18 TWIST DRILL Ø5,25X15MM
- SHORT DIRECTION INDICATOR
- SHORT DIRECTION INDICATOR
- LONG DIRECTION INDICATOR
- LONG DIRECTION INDICATOR
- 1.2 HEX DRIVER (CDH 1224)
- SCREW TAP COMPACT Ø4,0MM
- SCREW TAP COMPACT Ø5,0MM
- SCREW TAP COMPACT Ø6,0MM
- DRILL EXTENSION 16,0MM
- ADAPTER DRIVER
- MORSE TAPER PRIME
 TRANSMUCOSAL METER (MTM
- COMPACT TRANSMUCOSAL METER
 (MTMC 02)
- SLIM TRANSMUCOSAL METER
- LONG SLIM HANDPIECE DRIVER
 (CTUS 24)

- LONG SLIM WRENCH DRIVER
- LONG MORSE HANDPIECE DRIVER
- LONG MORSE TAPER WRENCH DRIVER (CCUM 24)
- SHORT SLIM HANDPIECE DRIVER
- SHORT SLIM WRENCH DRIVER
- SHORT MORSE HANDPIECE DRIVER
- SHORT MORSE WRENCH DRIVER
- LONG COMPACT HANDPIECE DRIVER
- LONG COMPACT WRENCH DRIVER
- SHORT COMPACT HANDPIECE DRIVER
- SHORT COMPACT WRENCH DRIVER
- DEPTH PROBE
- SURGICAL TORQUE WRENCH

CÓDIGO DEL PRODUTO: KCSU 05 CÓDIGO DE LA CAJA ORGANIZADORA: COSU 03

KIT SAFE DRILL UNITITE®

TORNANDO SUS CIRUGIAS MÁS SIMPLE Y PRÁCTICAS



El Kit Safe Drill sólo es compatible con el kit quirúrgico Unitite®. Para la instalación infraósea del Cono Morse se requiere el uso de una anilla de 1.5 mm superior a la profundidad del implante deseada (excepto Unitite® Compact).

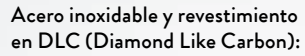
KIT SAFE DRILL Unitite®: KUSD 02 CAJA ORGANIZADORA SAFE DRILL: COUSD 02

CÓDIGO	DESCRIPCIÓN	CÓDIGO	DESCRIPCIÓN	CÓDIGO	DESCRIPCIÓN
COUSD 02	CAJA ORGANIZADORA SAFE DRILL	LSDD 3085	LIMITADOR SAFE DRILL ø 3.00/ ø 3.30 x 8.5 mm	LSDD 3811	LIMITADOR SAFE DRILL ø 3.80/ø 4.25 x 11.5 mm
LSDD 2005	LIMITADOR SAFE DRILL ø 2.00/ ø 2.70 x 5.0 mm	LSDD 3007	LIMITADOR SAFE DRILL ø 3.00/ ø 3.30 x 7.0 mm	LSDD 3813	LIMITADOR SAFE DRILL ø 3.80/ø 4.25 x 13.0 mm
LSDD 2006	LIMITADOR SAFE DRILL ø 2.00/ ø 2.70 x 6.0 mm	LSDD 3010	LIMITADOR SAFE DRILL ø 3.00/ ø 3.30 x 10.0 mm	LSDD 3815	LIMITADOR SAFE DRILL ø 3.80/ø 4.25 x 15.0 mm
LSDD 2007	LIMITADOR SAFE DRILL ø 2.00/ ø 2.70 x 7.0 mm	LSDD 3011	LIMITADOR SAFE DRILL ø 3.00/ ø 3.30 x 11.5 mm	LSDD 4505C	LIMITADOR SAFE DRILL ø 4.50/ø 5.80 x 5.0 mm
LSDD 2085	LIMITADOR SAFE DRILL ø 2.00/ ø 2.70 x 8.5 mm	LSDD 3013	LIMITADOR SAFE DRILL ø 3.00/ ø 3.30 x 13.0 mm	LSDD 4506C	LIMITADOR SAFE DRILL ø 4.50/ø 5.80 x 6.0 mm
LSDD 2010	LIMITADOR SAFE DRILL ø 2.00/ ø 2.70 x 10.0 mm	LSDD 3015	LIMITADOR SAFE DRILL ø 3.00/ ø 3.30 x 15.0 mm	LSDD 4507C	LIMITADOR SAFE DRILL ø 4.50/ø 5.80 x 7.0 mm
LSDD 2011	LIMITADOR SAFE DRILL ø 2.00/ ø 2.70 x 11.5 mm	LSDD 3805C	LIMITADOR SAFE DRILL ø 3.80/ø 4.25 x 5.0 mm	LSDD 4585	LIMITADOR SAFE DRILL ø 4.50/ø 5.80 x 8.5 mm
LSDD 2013	LIMITADOR SAFE DRILL ø 2.00/ ø 2.70 x 13.0 mm	LSDD 3806C	LIMITADOR SAFE DRILL ø 3.80/ø 4.25 x 6.0 mm	LSDD 4510	LIMITADOR SAFE DRILL ø 4.50/ø 5.80 x 10.0 mm
LSDD 2015	LIMITADOR SAFE DRILL ø 2.00/ ø 2.70 x 15.0 mm	LSDD 3807C	LIMITADOR SAFE DRILL ø 3.80/ø 4.25 x 7.0 mm	LSDD 4511	LIMITADOR SAFE DRILL ø 4.50/ø 5.80 x 11.5 mm
LSDD 3005	LIMITADOR SAFE DRILL ø 3.00/ ø 3.30 x 5.0 mm	LSDD 3885	LIMITADOR SAFE DRILL ø 3.80/ø 4.25 x 8.5 mm	LSDD 4513	LIMITADOR SAFE DRILL ø 4.50/ø 5.80 x 13.0 mm
LSDD 3006	LIMITADOR SAFE DRILL ø 3.00/ ø 3.30 x 6.0 mm	LSDD 3810	LIMITADOR SAFE DRILL ø 3.80/ø 4.25 x 10.0 mm	LSDD 4515	LIMITADOR SAFE DRILL ø 4.50/ø 5.80 x 15.0 mm

^{*}Verifique la disponibilidad del producto en su país.

KIT SHORT DRILL

EL SISTEMA DE FRESA DE LA LÍNEA UNITITE ESTÁ COMPLETO.



aumento del poder de corte y menor temperatura.



INDICACIÓN

En los casos que necesitan de **fresas con menor longitud** para pacientes con limitación de apertura de boca.

KIT SHORT DRILL: KSDU

CÓDIGO	DESCRIPCIÓN	LONG.	DIÁM.	CÓDIGO	DESCRIPCIÓN	LONG.	DIÁM.
FRLD 2005C	FRESA LANZA Ø2.0MM CORTA	27	Ø2.00	FUM 3510C	FRESA UNITITE Ø3.3 X 10MM CORTA	28.5	Ø3.30
FHCD 2010C	FRESA HELICOIDAL Ø2.0 X 10MM CORTA	27	Ø2.00	FUM 4310C	FRESA UNITITE Ø4.1 X 10MM CORTA	28.5	Ø4.10
FUM 2910C	FRESA UNITITE Ø2.7X10MM CORTA	28.5	Ø2.70	FUM 5010C	FRESA UNITITE Ø4.8 X 10MM CORTA	28.5	Ø4.80

^{*}El kit se envía con el cartucho y el blister de componentes.

KIT DE CIRUGÍA GUIADA UNITITE®

KITS COMPACTOS Y COMPLETOS

Desarrollado con la más alta tecnología y calidad industrial, el **Kit S.I.N. Guided Surgery** proporciona innumerables beneficios en el procedimiento de colocación de implantes dentales.

Ahora puede ofrecer a sus pacientes una cirugía con más comodidad, extrema precisión y una disminución significativa del tiempo de cirugía, favoreciendo la recuperación postoperatoria.

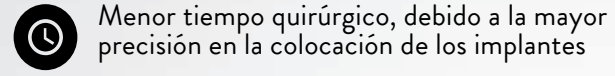
Conozca lo mejor que el mundo de la implantología tiene para ofrecerle.

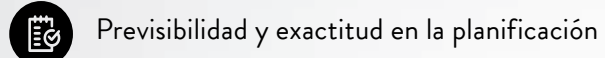


CÓDIGO DEL PRODUCTO: KCSUG 04

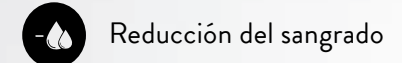
* EXCEPTO UNITITE COMPACT (DIÁM. 5 Y 6MM).

Con la técnica de Cirugía Guiada obtiene:





Alta tasa de supervivencia de los implantes



Recuperación más rápida del paciente



Mayor comodidad postoperatoria



Preservación del volumen de tejido óseo alrededor del implante



Mejor mantenimiento de los tejidos blandos



Posibilidad de colocación inmediata de la prótesis a través del flujo digital

Sistema de fresas largas y cortas

> Mayor variedad de opciones de acuerdo con el caso clínico.

Fresa estándar: 42,5 mm.

- > Marcas de profundidad a láser;
- > Safe Drill;
- > Recomendado para todo tipo de procedimientos;



Sistema flexible de posición de anillas

> Permite situar las guías quirúrgicas en dos posiciones, en relación con el nivel óseo.



Fresas cortas: 37,5 mm;

- > Recomendadas para pacientes con poca apertura bucal / regiones posteriores;
- > Permite la colocación de implantes de 7 mm/8,5 mm/ 10,0 mm/ 11,5 mm**;
- > No tiene encaje para el limitador Safe Drill.



*En la condición H6.5 con fresas cortas, la longitud máxima del implante por colocar debe ser de 10,0 mm.

Sistema estrecho de anillas

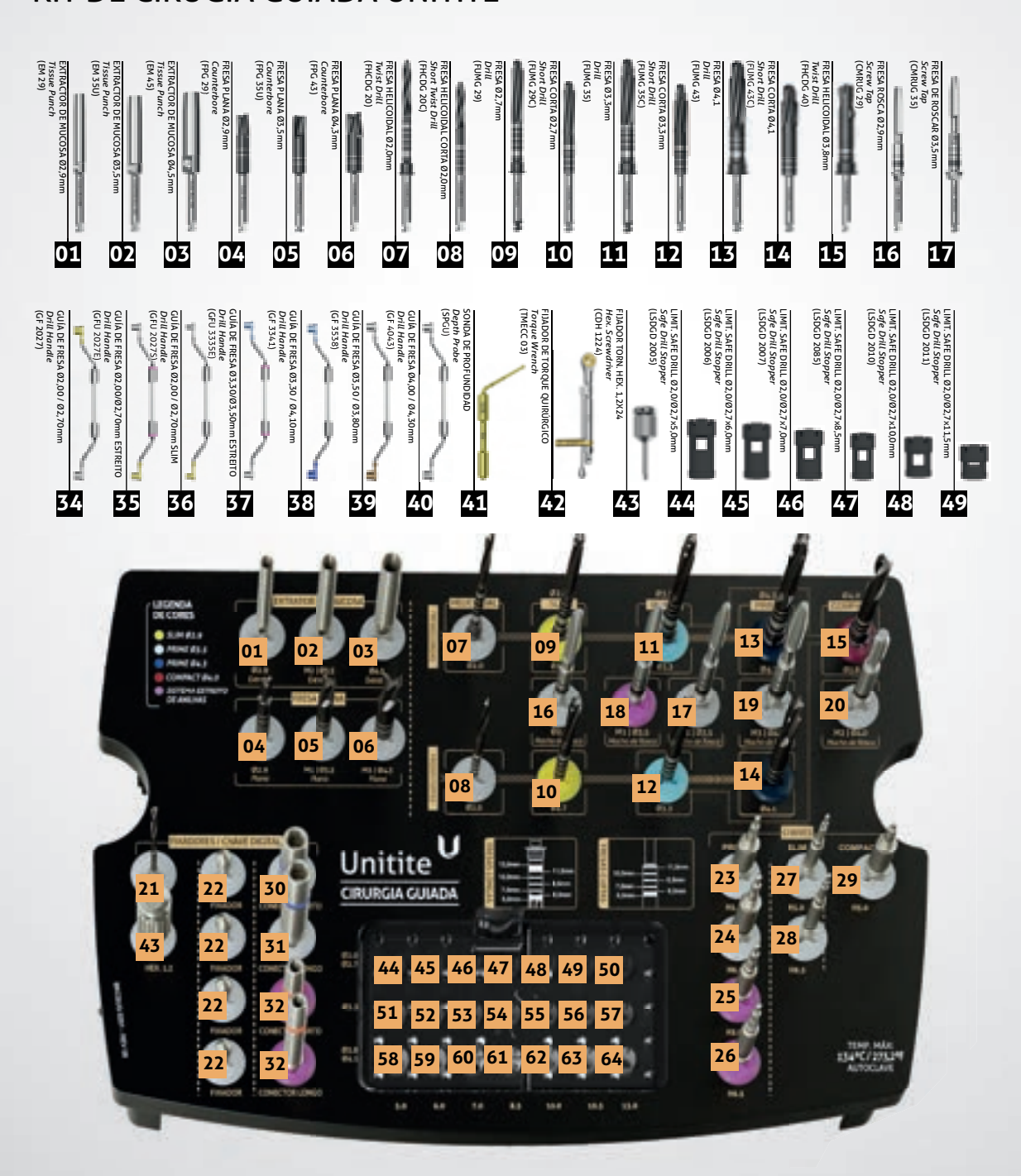
> Evita la colisión entre las anillas de la guía y los errores de orientación en pequeñas distancias mesiodistales.



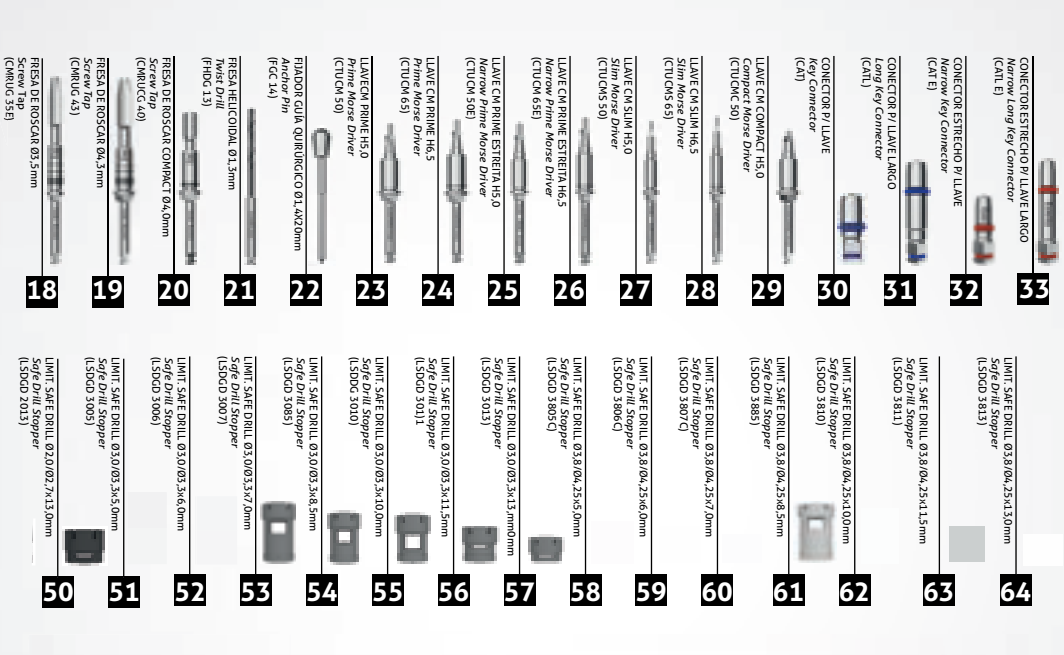
CÓD.	DESCRIPCIÓN
AFG 14	ANILHA PARA FIXADOR DE GUIA Ø 1.4 mm
AG 40	ANILHA PARA FIXADOR DE GUIA Ø 4.0 mm
AG 50	ANILHA PARA FIXADOR DE GUIA Ø 5.0 mm

CAJA ORGANIZADORA

KIT DE CIRUGÍA GUIADA UNITITE



CAJA ORGANIZADORA: BKCSUG





CONOCE NUESTROS KITS COMPLEMENTARIOS



KIT PROTÉSICO

Ideal para la fase restauradora con precisión, agilidad y seguridad. Código: KTMEC 02



KIT EXPANSOR

Ideal para realizar la expansión ósea lateral, ayudando a evitar la necesidad de injertos óseos. Código: KEXP



KIT DE INJERTO ÓSEO

Utilizado para la estabilización de injertos óseos en bloque y para cirugías de regeneración ósea guiada. Código: KENX



KIT LEVANTAMIENTO DE SENO

Indicado para cirugías de elevación del seno maxilar, este kit permite el desplazamiento de la membrana sinusal, así como e curetaje y la compactación del injerto.

Código:KLEV 02



KIT OSTEÓTOMO

Permite una elevación atraumática del seno maxilar resultando en un aumento vertical del hueso. Código: KOST



KIT EXPANSOR ROTATIVO

Indicado para casos con espesor óseo limitado. Recomendado para la expansión y compactación ósea, ayudando a evitar la necesidad de injertos óseos. Código: ER



KIT DE ORTODONCIA

Diseñado para la instalación y extracción quirúrgica sencilla de mini tornillos, asistiendo en el tratamiento de ortodoncia. Código: KOR



¿QUIERES SABER MÁS? ESCANEA EL CÓDIGO QR AL LADO



MINI-IMPLANTES DE ORTODONCIA

- > Fácil instalación y remoción.
- > Puede realizarse la carga inmediata después de la aplicación quirúrgica.
- > Fácil conexión con los accesorios de ortodoncia.
- > Diámetro del orificio: 0,6 mm.

ÁPICE DE ROSCA AUTOPERFORANTE:



INFORMACIONES TÉCNICAS DE INSTALACIÓN

> Longitudes:

Profundidad gingival = 0, 1, 2 y 3 mm. Cuerpo = 6, 8 y 10 mm (6 y 8 mandibula y 10 en huesos de tipo IV).

> Diámetro:

1.4 mm

1.6 mm

1.8 mm

AUTOPERFORANTE SIN PERFIL TRANSMUCOSO



CÓDIGO	DIÁM.	LONG.
POT 1406	1.4 mm	6.0 mm
POT 1408	1.4 mm	8.0 mm
POT 1400	1.4 mm	10.0 mm
POT 1606	1.6 mm	6.0 mm
POT 1608	1.6 mm	8.0 mm
POT 1600	1.6 mm	10.0 mm
POT 1806	1.8 mm	6.0 mm
POT 1808	1.8 mm	8.0 mm
POT 1800	1.8 mm	10.0 mm

AUTOPERFORANTE CON PERFIL TRANSMUCOSO - 2mm



CÓDIGO	DIÁM.	LONG.
POT 1420	1.4 mm	10.0 mm
POT 1428	1.4 mm	8.0 mm
POT 1620	1.6 mm	10.0 mm
POT 1628	1.6 mm	8.0 mm
POT 1820	1.8 mm	10.0 mm
POT 1828	1.8 mm	8.0 mm

AUTO PERFORANTE CON PERFIL TRANSMUCOSO CORTO - 1mm



CÓDIGO	DIÁM.	LONG.
CODIGO	DIAM.	LONG.
POT 1416	1.4 mm	6.0 mm
POT 1418	1.4 mm	8.0 mm
POT 1410	1.4 mm	10.0 mm
POT 1616	1.6 mm	6.0 mm
POT 1618	1.6 mm	8.0 mm
POT 1610	1.6 mm	10.0 mm
POT 1816	1.8 mm	6.0 mm
POT 1818	1.8 mm	8.0 mm
POT 1810	1.8 mm	10.0 mm

AUTO PERFORANTE CON PERFIL TRANSMUCOSO - 3mm



CÓDIGO	DIÁM.	LONG.
POT 1438	1.4 mm	8.0 mm
POT 1430	1.4 mm	10.0 mm
POT 1638	1.6 mm	8.0 mm
POT 1630	1.6 mm	10.0 mm
POT 1838	1.8 mm	8.0 mm
POT 1830	1.8 mm	10.0 mm

INSTRUMENTAL DE LOS KITS COMPLEMENTARIOS

LLAVES DIGITALES

ÍTEM	CÓDIGO	DESCRIPCIÓN	LONG.	INDICACIÓN
	CDA 20	LLAVE DE PILAR 20.0MM	CORTA	Utilizada para la instalación del tornillo del mini-pilar y del pilar cónico
	CDA 24	LLAVE DE PILAR 24.0MM	LARGA	Utilizada para la instalación del tornillo del mini-pilar y del pilar cónico
-	CDH 0920	LLAVE DIGITAL HEXAGONAL DE 0.9MM X 20MM	CORTA	Utilizada para la colocación de la tapa implante Tryon HE, pilar universal recto con tornillo pasante y pilar universal angulado
—	CDH 0924	LLAVE DIGITAL HEXAGONAL DE 0.9MM X 24MM	LARGA	Utilizada para la colocación de la tapa implante Tryon HE, pilar universal recto con tornillo pasante y pilar universal angulado
-	CDH 1220	LLAVE DIGITAL HEXAGONAL DE 1.2MM X 20MM	CORTA	Utilizada para la instalación del montador, cicatrizador, transfer, tornillos de retención (PTL 16, PT 2006, PT 2008, PRH 20 y PRH 30) y tornillos de laboratorio. Punta hexagonal de 1,2 mm
	CDH 1224	LLAVE DIGITAL HEXAGONAL DE 1.2MM X 24MM	LARGA	Utilizada para la instalación del montador, cicatrizador, transfer, tornillos de retención (PTL 16, PT 2006, PT 2008, PRH 20 y PRH 30) y tornillos de laboratorio. Punta hexagonal de 1,2 mm
-	CDHA 1220	LLAVE DIGITAL HEX. MINI-PILAR ÂNG. 20.0MM	CORTA	Tornillo de minipilar angulado. Punta hexagonal de 1,2 mm (excepto mini pilar angulado Unitite)
	CDHA 1224	LLAVE DIGITAL HEX. MINI-PILAR ÂNG. 24.0MM	LARGA	Tornillo de minipilar angulado. Punta hexagonal de 1,2 mm (excepto mini pilar angulado Unitite)
	CDHA 1237	LLAVE DIGITAL HEX. MINI-PILAR ÂNG. 37,0MM	EXTRA LARGA	Tornillo de minipilar angulado. Punta hexagonal de 1,2 mm (excepto mini pilar angulado Unitite)
⊨	CDQ 1220	LLAVE DIGITAL QUADRADA 20.0MM	CORTA	Utilizada para la instalación de los tornillos de retención con encaje cuadrado (PTQ 2008, PTQH 18 y PTQ 2006). Punta de 1,3 mm

MARTILLO QUIRÚRGICO

ÍTEM	CÓDIGO	DESCRIPCIÓN
-	MART1	> Acero inoxidable quirúrgico utilizado con los kits de Osteótomos y Expansores > Extremo de contacto fabricado en material sintético que proporciona mayor sensibilidad, menor impacto y reducción del trauma durante el uso

LLAVES DIGITALES

ÍTEM	CÓDIGO	DESCRIPCIÓN	LONG.	INDICACIÓN
—	CDQ 1224	LLAVE DIGITAL CUADRADA 24.0MM	LARGA	Utilizada para la instalación de tornillos de retención con encaje cuadrado (PTQ 2008, PTQH 18 y PTQ 2006). Punta de 1.3 mm
	CDQ 1237	LLAVE DIGITAL CUADRADA 37.0MM	EXTRA LARGA	Utilizada para la instalación de tornillos de retención con encaje cuadrado (PTQ 2008, PTQH 18 y PTQ 2006). Punta de 1.3 mm
-	CLH 1277	LLAVE HEXAGONAL 77.0MM	EXTRA LARGA	Llave para laboratorio. Utilizada para la instalación de tornillos de retención (PTL 16, PT 2006, PT 2008, PRH 20 y PRH 30) y tornillos de laboratorio. Punta de 1.2 mm hexagonal
	CLQ 1277	LLAVE CUADRADA 77.0MM	EXTRA LARGA	Llave para laboratorio. Utilizada para la instalación de tornillos de retención con encaje cuadrado (PTQ 2008, PTQH 18 y PTQ 2006). Punta de 1.3 mm
	CRC 16	LLAVE PARA REMOCIÓN DE CILINDRO PROVISORIO	CORTA	Utilizada para la remoción del cilindro provisorio Cono Morse Strong SW 1.6 mm
	CRC 18	LLAVE PARA REMOCIÓN DE CILINDRO PROVISORIO	CORTA	Utilizada para la remoción del cilindro provisorio Cono Morse Unitite Prime 1.8 mm
	CDH 1620	LLAVE DIGITAL HEX 1.6MM	CORTA	Utilizada para la instalación del pilar Multifuncional. Punta hexagonal de 1.6 mm
	CDH 1624	LLAVE DIGITAL HEX 1.6MM	MEDIA	Utilizada para la instalación del pilar Multifuncional. Punta hexagonal de 1.6 mm
10-	CCH 1620	LLAVE DE TRINQUETE HEX. 1,6MM	CORTA	Utilizada para la instalación y torque del pilar multifuncional. Punta hexagonal de 1.6 mm
10-	CCH 1624	LLAVE DE TRINQUETE HEX. 1,6MM	MEDIA	Utilizada para la instalación y torque del pilar multifuncional. Punta hexagonal de 1.6 mm

THE PROPERTY OF THE PARTY OF TH

FRESAS PERFILADORAS ÓSSEAS

ÍTEM	CÓDIGO	DESCRIPCIÓN	INDICACIÓN
	PO 4150	Plataforma 4.1 mm – Hex. Externo	Abre perfil del hueso para 5.0 mm
	PO 5055	Plataforma 5.0 mm – Hex. Externo	Abre perfil del hueso para 5.5 mm

LLAVE PARA CONTRA-ÁNGULO

ÍTEM	CÓDIGO	DESCRIPCIÓN	LONG.	INDICACIÓN
	CTA 1224	LLAVE TORQUE PILAR 24.0MM	LARGO	Utilizada para la instalación del tornillo del mini-pilar y del pilar cónico
-	CTH 0924	LLAVE TORQUE HEXAGONAL CONTRA-ÁNGULO 24.0MM	LARGO	Utilizada para la colocación de la tapa implante Tryon HE, pilar universal recto con tornillo pasante y pilar universal angulado
-	CTH 1220	LLAVE TORQUE HEXAGONAL CONTRA-ÁNGULO 20.0MM	CORTO	Utilizada para la instalación del montador, cicatrizador, transfer, tornillos de retención (PTL 16, PT 2006, PT 2008, PRH 20 y PRH 30) y tornillos de laboratorio. Punta hexagonal de 1.2 mm
	CTH 1224	LLAVE TORQUE HEXAGONAL CONTRA-ÁNGULO 24.0MM	LARGO	Utilizada para la instalación del montador, cicatrizador, transfer, tornillos de retención (PTL 16, PT 2006, PT 2008, PRH 20 y PRH 30) y tornillos de laboratorio. Punta hexagonal de 1.2 mm
	CTH 1230	LLAVE TORQUE HEXAGONAL CONTRA-ÁNGULO 30.0MM	EXTRA LARGA	Utilizada para la instalación del montador, cicatrizador, transfer, tornillos de retención (PTL 16, PT 2006, PT 2008, PRH 20 y PRH 30) y tornillos de laboratorio. Punta hexagonal de 1.2 mm
	CTHA 1220	LLAVE TORQUE HEXAGONAL CONTRA-ÁNGULO MINI PILAR ANGULADO 20.0MM	CORTO	Utilizada para la instalación del tornillo del mini-pilar angulado. Punta hexagonal de 1.2 mm (excepto para el mini-pilar angulado Unitite)
	CTHA 1224	LLAVE TORQUE HEXAGONAL CONTRA-ÁNGULO MINI PILAR ANGULADO 24.0MM	LARGO	Parafuso do mini-abutment angulado. Ponta de 1.2mm hexagonal (exceto para mini abutment angulado Unitite).
-	CTQ 20	LLAVE TORQUE CUADRADA 20.0MM	CORTO	Utilizada en contra-ángulo para la instalación de tornillos de retención de encaje cuadrado (PTQ 2008, PTQH 18, PTQ 2006). Punta de 1.3 mm
-	CTQ 24	LLAVE TORQUE CUADRADA 24.0MM	LONGA	Utilizada en contra-ángulo para la instalación de tornillos de retención de encaje cuadrado (PTQ 2008, PTQH 18, PTQ 2006). Punta de 1.3 mm
-	CTQ 30	LLAVE TORQUE CUADRADA 30.0MM	EXTRA LARGA	Utilizada en contra-ángulo para la instalación de tornillos de retención de encaje cuadrado (PTQ 2008, PTQH 18, PTQ 2006). Punta de 1.3 mm
	CTH 1620	LLAVE CONTRA-ÁNGULO HEXAGONAL 1.6MM	CORTO	Utilizada en contra-ángulo para la instalación de pilares multifuncionales
*	CTH 1624	LLAVE CONTRA-ÁNGULO HEXAGONAL 1.6MM	MEDIO	Utilizada en contra-ángulo para la instalación de pilares multifuncionales

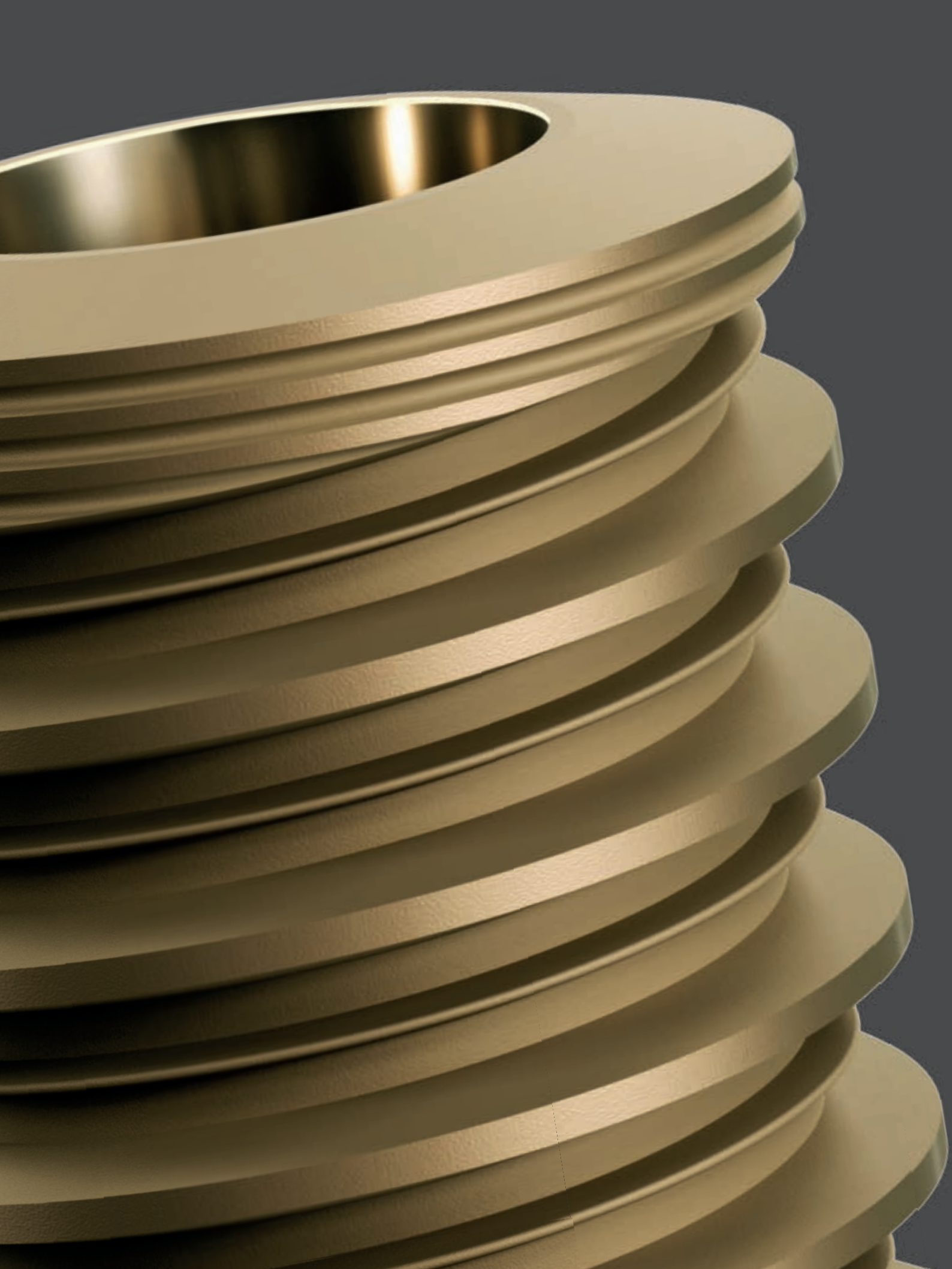
FRESAS HELICOIDALES

ÍTEM	CÓDIGO	MEDIDA	DESCRIPCIÓN
Harris States	FH 2010	ø 2,0x 10,0 mm	
PER PHES	FH2020	ø 2,0x 18,0 mm	> Acero inoxidable quirúrgico > Tratamiento térmico
	FH3010	ø 3,0x 10,0 mm	> Marcado a láser > Utilizada como secuencia para la confección del alveolo
Harris Brillian	FH3020	ø 3,0x 18,0 mm	

AND THE PROPERTY OF THE PROPER

FRESAS TREFINAS

ÍTEM	CÓDIGO	MEDIDA	DESCRIPCIÓN
× 1.30	FTR 02	ø 2,0 mm	
× (E:11-1	FTR04	ø 4,2 mm	> Acero inoxidable quirúrgico
	FTR 05	ø 5,1 mm	> Tratamento térmico > Marcado a láser > Puede utilizarse para la remoción de implantes, retirada del hueso y biopsias óseas
	FTR 06	ø 6,1 mm	> Medidas referentes al diámetro interno de la pieza
-133	FTR 08	ø 8,0 mm	



CALIDAD Y TECNOLOGÍA SUPERIOR

GARANTIZAMOS NUESTROS PRODUCTOS, PORQUE ESTAMOS **ORGULLOSOS** DE LO QUE PRODUCIMOS.



La principal prioridad de S.I.N. es garantizar la calidad y la seguridad de sus clientes. Ofrecer lo mejor en implantes, componentes, kits quirúrgicos e instrumentos es la base de todo nuestro trabajo.

INSPECCIÓN EN EL 100% DE LOS LOTES FABRICADOS

El control de calidad se lleva a cabo en todos los productos fabricados por S.I.N., a fin de garantizar el éxito de las cirugías de sus clientes y el cumplimiento de las normas de calidad, además de añadir valor a todos aquellos que han optado por crear nuevas sonrisas.



IMPLANTES CON GARANTÍA VITALICIA*.



5 AÑOS DE GARANTÍA: COMPONENTES PROTÉSICOS*.



*ESCANEE EL CÓDIGO QR PARA ACCEDER A LAS CONDICIONES DE LA GARANTÍA S.I.N.O ACCEDA AL ENLACE GO.SINIMPLANTSYSTEM.COM/3WRUHRR



COMPONENTE ORIGINAL S.I.N.

S.I.N. garantiza la calidad de sus implantes y componentes originales. Nuestro proceso de fabricación cuenta con estrictos controles de calidad y seguridad y está homologado por diversas certificaciones nacionales e internacionales.

####################################

Conozca las ventajas de utilizar implantes y componentes originales S.I.N.:

- › Alta precisión dimensional garantizada y ajuste perfecto.
- Excelente adaptación biomecánica micrométrica entre implante y componentes.
- El color rosa de los componentes hace que el aspecto de la prótesis en la transmucosa sea mucho más natural, incluso cuando hay retracción, saucerización o alteraciones periimplantarias.
- › Fabricado con materias primas de alta calidad.
- > Resistencia mecánica a las fuerzas aplicadas en la boca.
- › Garantía de productos de calidad para sus pacientes.
- › Segurança de produtos de qualidade para seus pacientes.





MÁS FACILIDAD Y SEGURIDAD PARA SUS PROCEDIMIENTOS CLÍNICOS

Los paquetes de S.I.N. brindan practicidad, manteniendo los productos íntegros, facilitando su manipulación e identificación.

De manipular de abrir y manipular con guantes.



Embalaje transparente simplicidad y rapidez en la identificación del implante.

Mantiene el implante y la tapa del implante en compartimientos separados.



Sistema de apertura superior con sistema giratorio que asegura la esterilización del implante.

Con un conector propio, capture el implante con la llave de contra-ángulo y muévalo hasta conseguir el encaje perfecto.



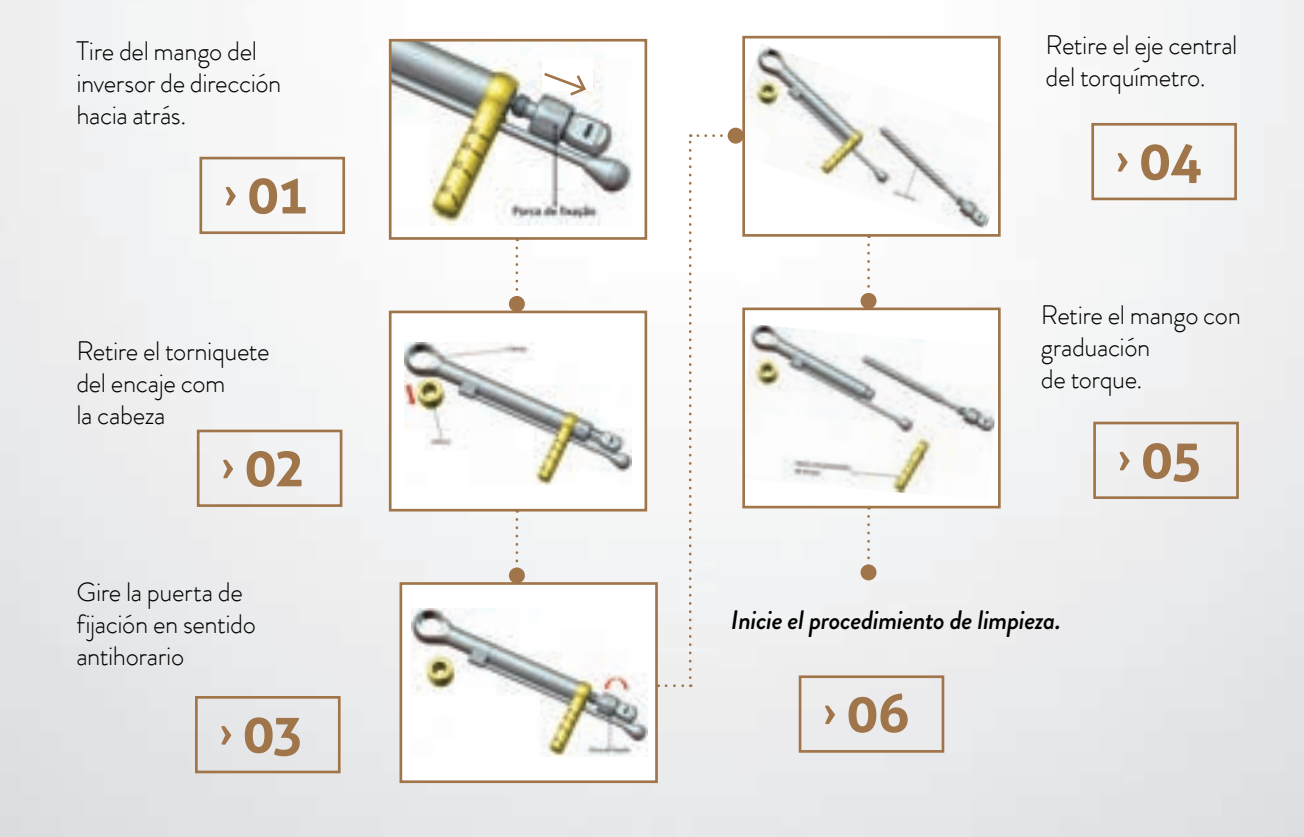
De la único sistema de implantes que ofrece la tapa del implante en el mismo paquete. Para capturarlo, retirar la tapa superior del tubo y encajar la llave digital hexagonal de 1,2 mm.

Importante: El implante no debe ser tomado con la llave de trinquete.

DESMONTAJE DEL TORQUIMETRO

La limpieza debe realizarse inmediatamente después de utilizar el torquímetro.

Para la limpieza, el torquímetro debe ser desmontado. Para ello, no es necesario el uso de herramientas.



INSTRUCCIONES GENERALES

Cuidados especiales y aclaraciones sobre los instrumentos quirúrgicos.



LIMPIEZA DEL KIT

- Retire manualmente todos los instrumentos quirúrgicos del kit. Desmonte las piezas de la caja del kit (tapa, bandeja y fondo).
- Prepare el detergente enzimático, según las instrucciones del fabricante.
- Sumergir todas las partes del producto en la solución detergente preparada y dejar actuar 5 minutos. Posteriormente, utilizando un cepillo de cerdas suaves, frotar las piezas durante al menos 2 minutos hasta eliminar por completo la materia orgánica de los productos.
- Retire las piezas de la solución de detergente y enjuague con agua corriente durante 1 minuto hasta eliminar completamente los residuos. Repetir el enjuague dos veces más.
- Inspección visual de cada parte en busca de residuos del proceso de limpieza o desechos orgánicos del uso del producto.
- Si se detectan residuos en el producto, repita el proceso de limpieza hasta que se eliminen por completo.
- Seque con papel o paño suave, limpio, seco y desechable.



LIMPIEZA DE LOS INSTRUMENTOS

- Desmontar la pieza (si corresponde). Para torquímetros, complete el desmontaje del producto, retire todo el material orgánico interno con agua corriente y continúe con el siguiente paso solo cuando realice estos procedimientos.
- Prepare el detergente enzimático, según las instrucciones del fabricante.
- Sumerja todas las piezas del producto en la solución preparada de detergente y déjelas durante al menos 5 minutos. Luego, con un cepillo de cerdas suaves, frote las piezas para eliminar la materia orgánica de los productos.
- Retire las piezas de la solución de detergente y enjuague con agua corriente durante 1 minuto hasta eliminar completamente los residuos. Repita el enjuague dos veces más.
- Inspeccione visualmente cada parte para ver si hay residuos del proceso de limpieza o residuos orgánicos del uso del producto.
- Si se confirma la presencia de residuos en el producto, repita el proceso de limpieza, hasta la eliminación total de residuos.
- Seque las piezas con un paño suave, limpio y seco o con papel desechable.
- · Continúe con el siguiente proceso de esterilización.

RECOMENDACIONES DE ESTERILIZACIÓN

- No se recomienda la esterilización química, ya que ciertos productos pueden causar decoloración y daños en los instrumentales.
- No utilice una temperatura superior a 60°C para secar los productos.
- Nunca use hornos de calor seco para esterilizar instrumentos de S.I.N.



ESTERILIZACIÓN

El producto es reutilizable suministrado no es estéril. Debe estar limpio y esterilizado en autoclave antes de su uso.

- Seque todos los instrumentos antes del ciclo de esterilización con vapor.
- El producto debe estar envuelto en un envoltorio esterilizable con vapor.
- Esterilice con vapor en ciclos de 121°C a 1 ATM de presión durante 30 minutos o de 134°C a 2 ATM de presión durante 20 minutos. Dejar secar durante 30 minutos.
- Coloque siempre la caja en la autoclave sobre una superficie plana y lejos de las paredes del dispositivo.
- Nunca superponga objetos o incluso otros casos.

RECOMENDACIONES DE LIMPIEZA

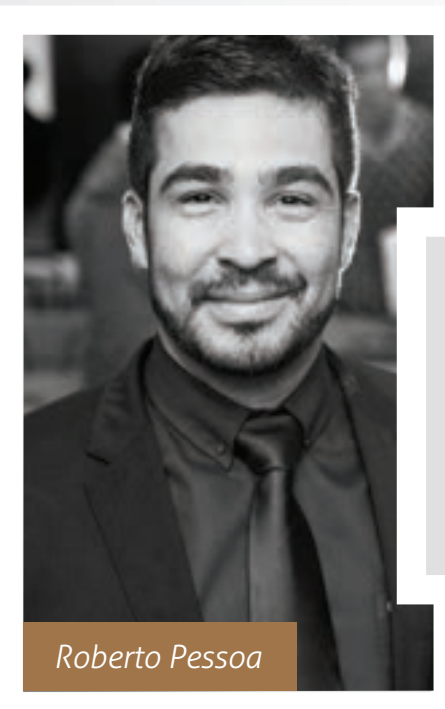
- Utilice los PPE adecuados (guantes, máscaras, gafas, gorras, etc.).
- · Inicie la limpieza inmediatamente después del uso quirúrgico.
- Nunca deje que los instrumentos se sequen con residuos orgánicos después del uso quirúrgico.
- Nunca deje que el instrumento se seque naturalmente después de limpiarlo.
- Nunca use soluciones salinas, incluya hipoclorito de sodio, desinfectante, peróxido de hidrógeno o alcohol para limpiar o enjuagar los instrumentos y kits quirúrgicos.
- No utilice nunca lana de acero ni productos abrasivos para para evitar dañar los instrumentos.
- No apile los instrumentos en lotes para evitar la deformación de piezas más pequeñas y delicadas.

LIMPIEZA DE LOS TORQUÍMETROS

La limpieza debe realizarse inmediatamente después de utilizar la Llave de Torque. Para su limpieza es necesario desmontar la Llave de Torque; no es necesario el uso de herramientas.

- 1. Tire hacia atrás la varilla de inversión de la dirección.
- 2. Retire el trinquete del casquillo con la cabeza.
- 3. Gire la puerta de fijación en sentido antihorario.
- 4. Retire el eje central de la Llave de Torque..
- 5. Retire la varilla graduada de torsión.
- 6. Prepare el detergente enzimático según las instrucciones del fabricante.
- 7. Sumerja todas las partes del producto en la solución de detergente preparada y déjelo por al menos 5 minutos, luego, usando un cepillo de cerdas suaves, frote las partes para eliminar la materia orgánica de los productos.
- 8. Retirar las piezas de la solución detergente y enjuagar con agua corriente durante 1 minuto, repetir el enjuague dos veces más, totalizando 3 enjuagues de 1 minuto cada uno.
- 9. Inspeccionar visualmente cada pieza para comprobar si existen residuos del proceso de limpieza o residuos orgánicos del uso del producto.
- 10. Si se confirma la presencia de residuos en el producto, repetir el proceso de limpieza hasta eliminar por completo el residuo.
- 11. Secar con un paño suave, limpio y seco o con papel desechable.

TESTIMONIOS DE ESPECIALISTAS



EL IMPLANTE UNITITE HA HECHO QUE LAS PRINCIPALES DEMANDAS CLÍNICAS TENGAN RESULTADOS MÁS PREVISIBLES, COMO LA DISMINUCIÓN DEL TIEMPO ENTRE LA COLOCACIÓN DEL IMPLANTE Y LA REHABILITACIÓN FINAL DEL PACIENTE, EL MANTENIMIENTO DE LA ALTURA ÓSEA PRERIIMPLANTARIA, QUE TIENE UN GRAN IMPACTO EN LA PREVISIBILIDAD ESTÉTICA A LARGO PLAZO, Y LA REHABILITACIÓN DE ZONAS CON POCA DISPONIBILIDAD ÓSEA, DE MANERA EFICIENTE Y MÍNIMAMENTE INVASIVA, EVITANDO EN MUCHOS CASOS LA NECESIDAD DE INJERTOS ÓSEOS. ME SIENTO HONRADO DE HABER PARTICIPADO ACTIVAMENTE EN ESTE PROYECTO.

Posdoctorado en Biomecánica por FEMEC/UFU e Investigador en Bme - KULeuven, Bélgica. Doctorado en Periodoncia/ Implantología - FOAr/UNESP Araraquara-SP. Máster en Rehabilitación Oral - FOUFU Uberlândia-MG.

EL RECUBRIMIENTO SUPERFICIAL DE HANANO® PRESENTE EN EL IMPLANTE UNITITE, CON UN ESPESOR HOMOGÉNEO DE 20 NANÓMETROS, AUMENTA SIGNIFICATIVAMENTE LA ENERGÍA DE LA SUPERFICIE, LA HIDROFILIA Y LA RESPUESTA DE CICATRIZACIÓN EN LAS PRIMERAS FASES DEL PROCESO DE OSTEOINTEGRACIÓN. EL IMPACTO POSITIVO DE SU BIOACTIVIDAD SE HA DEMOSTRADO EN DIVERSOS MÉTODOS AVANZADOS DE INVESTIGACIÓN, COMO EN LA TRANSDUCCIÓN DE SEÑALES Y LA MICROSCOPÍA DE FUERZA ATÓMICA. LA MAYOR ABSORCIÓN PROTEICA, ASOCIADA A UNA PRESENCIA ESTADÍSTICAMENTE SIGNIFICATIVA DE PROTEÍNAS RELACIONADAS CON EL PROCESO DE CICATRIZACIÓN ÓSEA EN PRESENCIA DE UN CATALIZADOR BIOLÓGICO PARA LA MINERALIZACIÓN, HACEN DE ESTA SUPERFICIE UNA DE LAS MÁS AVANZADAS DEL MERCADO MUNDIAL DE IMPLANTES.





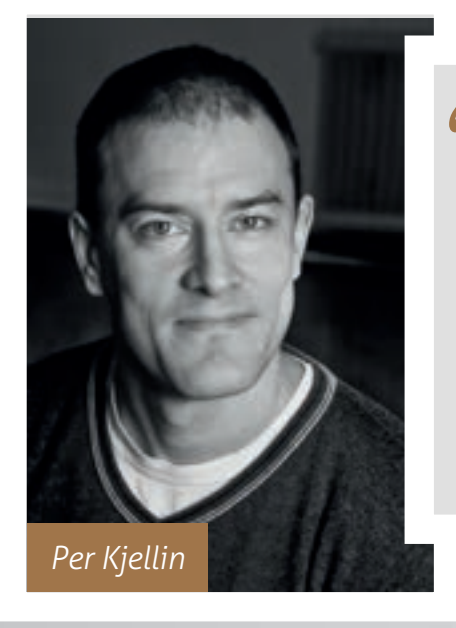
COMPARACIÓN CON LOS IMPLANTES SIN ESTA SUPERFICIE.

DDS/PhD y Director del Departamento de Prostodoncia de la Universidad de Malmö, Suecia. Especialista en superficies de implantes y autor de más de 220 artículos científicos publicados en revistas de renombre sobre este tema.

CON LA NUEVA SUPERFICIE UNITITE® HEMOS COMPROBADO, A TRAVÉS DE DIVERSOS ESTUDIOS, QUE EFECTIVAMENTE SE ALCANZA LA ESTABILIDAD PRIMARIA. LA MACROGEOMETRÍA DEL PROPIO IMPLANTE PERMITE QUE EL FLUJO SANGUÍNEO LO RECORRA COMPLETAMENTE Y QUE HAYA UNA OSTEOINTEGRACIÓN INTEGRAL DESDE SU ÁPICE HASTA SUS PAREDES CENTRALES Y SU REGIÓN CERVICAL. UNITITE® ES, SIN DUDA, UN GRAN AVANCE PARA EL MUNDO DE LA IMPLANTOLOGÍA, NO SOLO POR SUS ESTUDIOS MULTICÉNTRICOS, SINO TAMBIÉN POR LOS RESULTADOS, CONTROLES RADIOGRÁFICOS Y CLÍNICOS QUE ESTAMOS TENIENDO Y QUE SON MUY ALENTADORES.



Doctor y Máster en Cirugía Oral y Maxilofacial por el Eastman Dental Institute - University of London y Profesor del Instituto Superior de Saúde do Alto Ave (ISAVE) en Portugal.



LA SUPERFICIE DE HANANO ES UNA CAPA ULTRAFINA DE HUESO SINTÉTICO EN LA SUPERFICIE DEL IMPLANTE. CADA CRISTAL DE HUESO SINTÉTICO ES EXTREMADAMENTE PEQUEÑO, DE 14 A 10 NM DE LONGITUD Y CERCA DE 5 NM DE GROSOR. LO QUE HACE QUE ESTOS CRISTALES SEAN TAN ESPECIALES ES QUE TODOS TIENEN EL MISMO TAMAÑO Y LA MISMA FORMA QUE LOS QUE SE ENCUENTRAN EN EL HUESO HUMANO Y SON RECONOCIDOS POR LAS CÉLULAS ÓSEAS, ASÍ COMO POR EL TEJIDO ÓSEO, QUE ACTIVAN EL CATALIZADOR E INICIAN UN ENORME PROCESO DE CONSTRUCCIÓN ÓSEA ALREDEDOR DEL IMPLANTE. ESTE EFECTO SE HA DEMOSTRADO EN MÁS DE 20 ESTUDIOS PRECLÍNICOS CON LOS MEJORES INVESTIGADORES DE IMPLANTES DEL MUNDO.



PUBLICACIONES CIENTÍFICAS

Arvidsson A, Currie F, Kjellin P, Sul YT, Stenport V. Nucleation and growth of calcium phosphates in the presence of fibrinogen on titanium implants with four potentially bioactive surface preparations. An in vitro study. J Mater Sci: Mater Med 2009; 20:1869–1879

Arvidsson A, Franke-Stenport V, Andersson M, Kjellin P, Sul YT, Wennerberg A. Formation of calcium phosphates on titanium implants with four different bioactive surface preparations. An in vitro study. J Mater Sci: Mater Med 2007; 18:1945-1954

Barkarmo S, Wennerberg A, Hoffman M, Kjellin P, Breding K, Handa P, Stenport V. 2013. Nanohydroxyapatite-coated PEEK implants: A pilot study in rabbit bone. J Biomed Mater Res A 2013; 101A:465–471

Bezerra F, Pessoa RS, Zambuzzi WF. Carregamento funcional imediato ou precoce de implantes com câmara de cicatrização e nano-superfície: estudo clínico prospectivo longitudinal. Innov Implant J, Biomater Esthet. 2015;9(2/3):13-7

Bezerra F, Lenharo A, Pessoa RS, Duarte LRS, Granjeiro JM. Avaliação do impacto do edentulismo total mandibular e da reabilitação fixa sobre implantes com carga imediata na qualidade de vida de pacientes idosos. Rev Dental Press Periodontia Implantol. 2011 jul-set;5(3):101-10

Bezerra F, Ribeiro EDP, Bittencourt S, Lenharo A. Influência da experiência do operador na estabilidade primária de implantes com diferentes macro-geometrias – estudo in vitro. Int J Dent 2010; 9(2):63-67

Bezerra F, Ribeiro EP, Bittencourt S, Lenharo A. Influência da macrogeometria na estabilidade primária dos implantes em diferentes densidades ósseas. Implant News 2010;7(5):671-6.

Bezerra F, Ribeiro EP, Bittencourt S, Lenharo A. Influência da macrogeometria na estabilidade dos implantes. Innov Implant J 2010; 5:29-34

Bonfante EA, Janal MN, Granato R, Marin C, Suzuki M, Tovar N, Coelho PG. Buccal and lingual bone level alterations after immediate implantation of four implant surfaces: a study in dogs. Clin. Oral Impl. Res. 2013; 24:1375–1380

Bonfante EA, Granato R, Marin C, Suzuki M, Oliveira SR, Giro G, Coelho PG: Early bone healing and biomechanical fixation of dual acid-etched and as-machined implants with healing chambers: an experimental study in dogs. The International Journal of Oral & Maxillofacial Implants 2011; 26: 75-82

Campos FEB, Jimbo R, Bonfante EA, Barbosa EA, Oliveira MTF, Janal MN, Coelho PG. Are insertion torque and early osseointegration proportional? A histologic evaluation. Clinical Oral Implants Research 2014 Jul 4. doi: 10.1111/clr.12448. [Epub ahead of print]

Campos FEB, Jimbo R, Bonfante EA, Oliveira MTF, Moura C, Barbosa DZ, Coelho PG. Drilling dimension effects in early stages

of osseointegration and implant stability in a canine model. Med Oral Patol Oral Cir Bucal. 2015 Apr 10. [Epub ahead of print]

Arvidsson A, Currie F, Kjellin P, Sul YT, Stenport V. Nucleation and growth of calcium phosphates in the presence of fibrinogen on titanium implants with four potentially bioactive surface preparations. An in vitro study. J Mater Sci: Mater Med 2009; 20:1869–1879

Arvidsson A, Franke-Stenport V, Andersson M, Kjellin P, Sul YT, Wennerberg A. Formation of calcium phosphates on titanium implants with four different bioactive surface preparations. An in vitro study. J Mater Sci: Mater Med 2007; 18:1945-1954

Barkarmo S, Wennerberg A, Hoffman M, Kjellin P, Breding K, Handa P, Stenport V. 2013. Nanohydroxyapatite-coated PEEK implants: A pilot study in rabbit bone. J Biomed Mater Res A 2013; 101A:465–471

Bezerra F, Pessoa RS, Zambuzzi WF. Carregamento funcional imediato ou precoce de implantes com câmara de cicatrização e nano-superfície: estudo clínico prospectivo longitudinal. Innov Implant J, Biomater Esthet. 2015;9(2/3):13-7

Bezerra F, Lenharo A, Pessoa RS, Duarte LRS, Granjeiro JM. Avaliação do impacto do edentulismo total mandibular e da reabilitação fixa sobre implantes com carga imediata na qualidade de vida de pacientes idosos. Rev Dental Press Periodontia Implantol. 2011 jul-set;5(3):101-10

Bezerra F, Ribeiro EDP, Bittencourt S, Lenharo A. Influência da experiência do operador na estabilidade primária de implantes com diferentes macro-geometrias – estudo in vitro. Int J Dent 2010; 9(2):63-67

Bezerra F, Ribeiro EP, Bittencourt S, Lenharo A. Influência da macrogeometria na estabilidade primária dos implantes em diferentes densidades ósseas. Implant News 2010;7(5):671-6.

Bezerra F, Ribeiro EP, Bittencourt S, Lenharo A. Influência da macrogeometria na estabilidade dos implantes. Innov Implant J 2010; 5:29-34

Bonfante EA, Janal MN, Granato R, Marin C, Suzuki M, Tovar N, Coelho PG. Buccal and lingual bone level alterations after immediate implantation of four implant surfaces: a study in dogs. Clin. Oral Impl. Res. 2013; 24:1375–1380

Bonfante EA, Granato R, Marin C, Suzuki M, Oliveira SR, Giro G, Coelho PG: Early bone healing and biomechanical fixation of dual acid-etched and as-machined implants with healing chambers: an experimental study in dogs. The International Journal of Oral & Maxillofacial Implants 2011; 26: 75-82

Campos FEB, Jimbo R, Bonfante EA, Barbosa EA, Oliveira MTF, Janal MN, Coelho PG. Are insertion torque and early osseointegration proportional? A histologic evaluation. Clinical Oral Implants Research 2014 Jul 4. doi: 10.1111/clr.12448. [Epub ahead of print]

Campos FEB, Jimbo R, Bonfante EA, Oliveira MTF, Moura C, Barbosa DZ, Coelho PG. Drilling dimension effects in early stages of osseointegration and implant stability in a canine model. Med Oral Patol Oral Cir Bucal. 2015 Apr 10. [Epub ahead of print]

Coelho PG, Marin C, Granato R, Bonfante EA, Lima CP, Oliveira S, Ehrenfest DMD, Suzuki M. Alveolar Buccal Bone Maintenance After Immediate Implantation with a Surgical Flap Approach: A Study in Dogs. The International Journal of Periodontics & Restorative Dentistry 2011;31:e80-e86

Coelho PG, Granjeiro JM, Romanos GE, Suzuki M, Silva NR, Cardaropoli G, et al. Basic research methods and current trends of dental implant surfaces. J Biomed Mater Res B Appl Biomater. 2009;88(2):579-96.

Coelho PG, Jimbo R. Osseointegration of metallic devices: current trends based on implant hardware design. Archives of biochemistry and biophysics. 2014;561:99-108

Coelho PG, Jimbo R, Tovar N, Bonfante EA. Osseointegration: hierarchical designing encompassing the macrometer, micrometer, and nanometer length scales. Dent Mater. 2015;31(1):37-52

Ehrenfest DMD, Coelho PG, Kang BS, Sul YT, Albrektsson T. Classification of osseointegrated implant surfaces: materials, chemistry and topography. Trends in Biotechnology 2009; 198-206

Jimbo R, Coelho PG, Bryington M, Baldassarri M, Tovar N, Currie F, et al. Nano hydroxyapatite-coated implants improve bone nanomechanical properties. J Dent Res. 2012;91(12):1172-7.

Jimbo R, Coelho PG, Bryington M, Baldassarri M, Tovar N, Currie F, et al. Nano hydroxyapatite-coated implants improve bone nanomechanical properties. J Dent Res. 2012;91(12):1172-7

Jimbo R, Sotres J, Johansson C, Breding K, Currie F, Wennerberg A. The biological response to three different nanostructures applied on smooth implant surfaces. Clin Oral Implants Res. 2012;23(6):706-12.

Martins LM, Bonfante EA, Zavanelli RA, Freitas Jr AC, Silva NRFA, Marotta L, et al. Fatigue reliability of three single-unit implantabutment designs. Implant Dent. 2011; 21: 67-71

Meirelles L, Albrektsson T, Kjellin P, Arvidsson A, Franke-Stenport V, Andersson M, Currie F, Wennerberg A. Bone reaction to nano hydroxyapatite modified titanium implants placed in a gap-healing model. Journal of Biomedical Materials Research A 2008; 625-631

Meirelles L, Albrektsson T, Kjellin P, Arvidsson A, Franke-Stenport V, Andersson M, Currie F, Wennerberg A. Bone reaction to nano hydroxyapatite modified titanium implants placed in a gap-healing model. Journal of Biomedical Materials Research A 2008; 625-631

Meirelles L, Arvidsson A, Andersson M, Jellin P, Albrektsson T, Wennerberg A: Nano hydroxyapatite structures influence early bone formation. J Biomed Mater Res A. 2008 Nov;87(2):299-307

Meirelles L, Currie F, Jacobsson M, Albrektsson T, Wennerberg A. The effect of chemical and nanotopographical modifications on the early stages of osseointegration. Int J Oral Maxillofac Implants 2008;23: 641-647

Meirelles L, Melin L, Peltola T, Kjellin P, Kangasniemi I, Currie F, Andersson M, Albrektsson T, Wennerberg A. Effect of Hydroxyapatite and Titania Nanostructures on Early In Vivo Bone Response. Clinical Implant Dentistry and Related Research 2008; 10(4): 245-254

Meirelles L, Melin L, Peltola T, Kjellin P, Kangasniemi I, Currie F, Andersson M, Albrektsson T, Wennerberg A. Effect of Hydroxyapatite and Titania Nanostructures on Early In Vivo Bone Response. Clinical Implant Dentistry and Related Research 2008; 10(4): 245-254

Pessoa RS, Coelho PG, Muraru L, Marcantonio Jr E, Vaz LG, Sloten JV, Jaecques SVN: Influence of implant design on the biomechanical environment of immediately placed implants: computed tomography-based nonlinear three-dimensional finite element analysis. Int J Oral Maxillofac Implants 2011;26:1279–1287

Pessoa RS, Souza RM, Pereira LM, Neves FD, Jaecques SVN, Sloten JV, Quirynen M, Teughels W, Spin-Neto R. Remodelação óssea de implantes com conexão hexágono externo e elementos de retenção no módulo da crista sob carregamento imediato – estudo clínico prospectivo longitudinal de um ano. ImplantNews 2015;12(4):E2-E7

Pessoa RS, Sousa RM, Pereira LM, Silva TD, Bezerra FJB, Spin-Neto R. Avaliação da estabilidade dos tecidos duros e moles em implantes imediatos com carga imediata em área estética: estudo clínico. Dental Press Implantol. 2015 Apr-Jun;9(2):100-9

Lenharo A, Granjeiro JM, Leão L, Bezerra F, Oliva MA. Estudo prospectivo longitudinal multicêntrico avaliando o sucesso clínico de uma nova macrogeometria de implantes osseointegráveis: acompanhamento de 06 a 12 meses. Revista Fluminense de Odontologia 2010; 34: 43-48

Göransson A, Arvidsson A, Currie F, Franke-Stenport V, Kjellin P, Mustafa K, Sul YT, Wennerberg A. An in vitro comparison of possibly bioactive titanium implant surfaces. Journal of Biomedical Materials Research A 2008; 1037-1047

Shunmugasamy VC, Gupta N, Pessoa RS, Janal MN, Coelho PG. Influence of clinically relevant factors on the immediate biomechanical surrounding for a series of dental implant designs. J Biomech Eng. 2011;133(3):031005.

Svanborg LM, Meirelles L, Franke-Stenport V, Kjellin P, Currie F, Andersson M, Wennerberg A. Evaluation of Bone Healing on Sandblasted and Acid Etched Implants Coated with nanocrystalline Hydroxyapatite: An In Vivo Study in Rabbit Femur. International Journal of Dentistry 2014; 1-7

Westas E, Gillstedt M, Lönn-Stensrud J, Bruzell E, Andersson M: Biofilm formation on nanostructured hydroxyapatite-coated titanium. J Biomed Mater Res A. 2014 Apr;102(4):1063-70

DONDE ESTAMOS



APUNTA LA CÁMARA DE TU MÓVIL HACIA EL CÓDIGO QR Y DESCUBRE DÓNDE ESTÁ PRESENTE S.I.N.

MATRIZ S.I.N.

Avenida Vereador Abel Ferreira, 2140 Jardim Anália Franco - São Paulo – SP CEP 03340-000

FÁBRICA

Rua Soldado Ocimar Guimarães da Silva, nº 421

VENTAS INTERNACIONALES

international@sinimplante.com.br

www.sinimplantsystem.com





Descubra Implantat, el hábitat educativo de S.I.N.

implantat.global

internacional@sinimplantsystem.com
 www.sinimplantsystem.com/es/

Visite nuestras Redes Sociales







